

F4110
Kvantová fyzika atomárních soustav
letní semestr 2008 - 2009

IV.
Elektronová optika

KOTLÁŘSKÁ 11. BŘEZNA 2009

Úvodem

- S elektrony lze pracovat v přiblížení geometrické optiky, pokud se pohybují v dostatečně plyných polích
- Na příkladu elektrostatických polí prozkoumáme konstrukci centrovaných soustav v paraxiální aproximaci
- Magnetické čočky jsou ale mnohem zajímavější
- I elektronové optické soustavy trpí vadami zobrazení ...

Vlastně několik reklamních obrázků

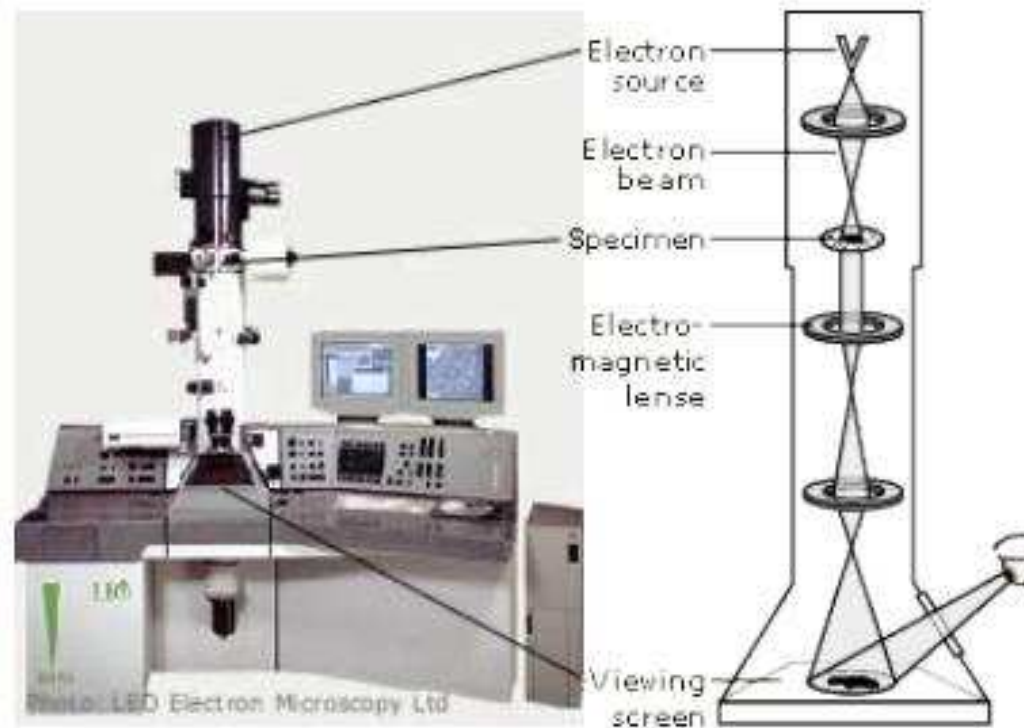
V dnešní době je elektronová mikroskopie standardní a rozšířenou laboratorní technikou.

Variant konstrukce je velký počet.

Celý obor se stále rozvíjí. Elektronové svazky se využívají i v technologii, například pro elektronovou litografii.

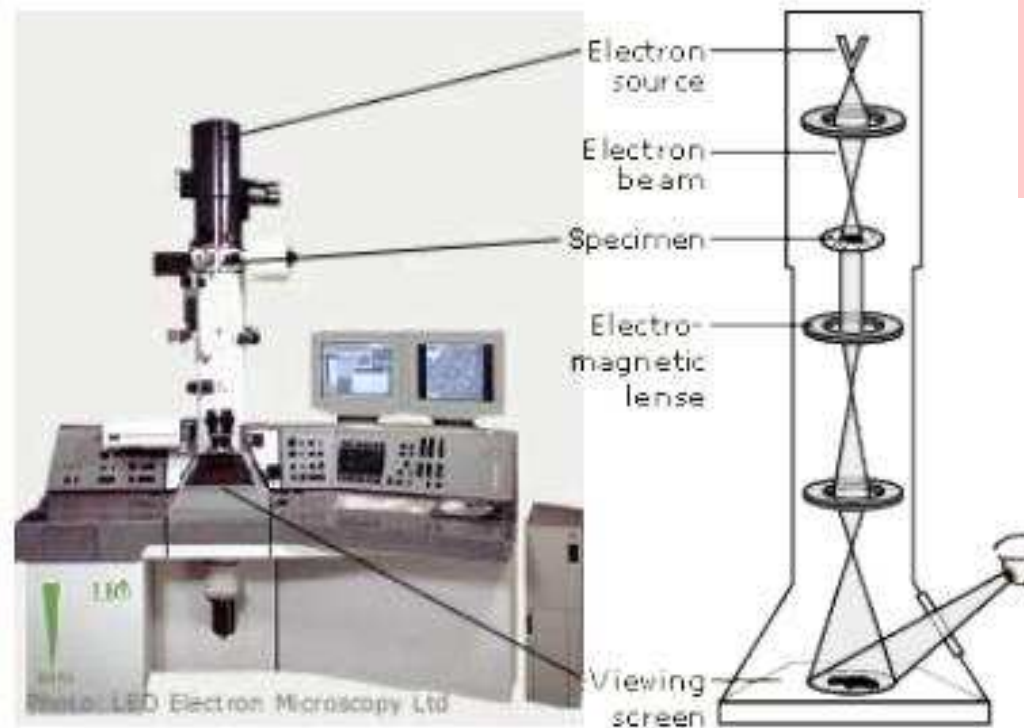
Transmisní elektronový mikroskop

transmisní elektronový mikroskop (TEM)



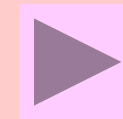
Transmisní elektronový mikroskop

transmisní elektronový mikroskop (TEM)



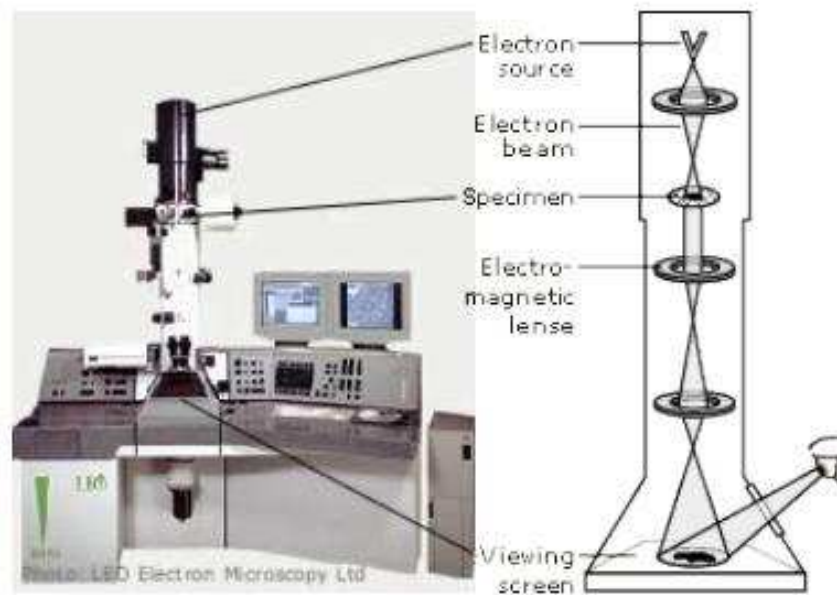
DETAIL

Srovnání s
optickým
mikroskopem

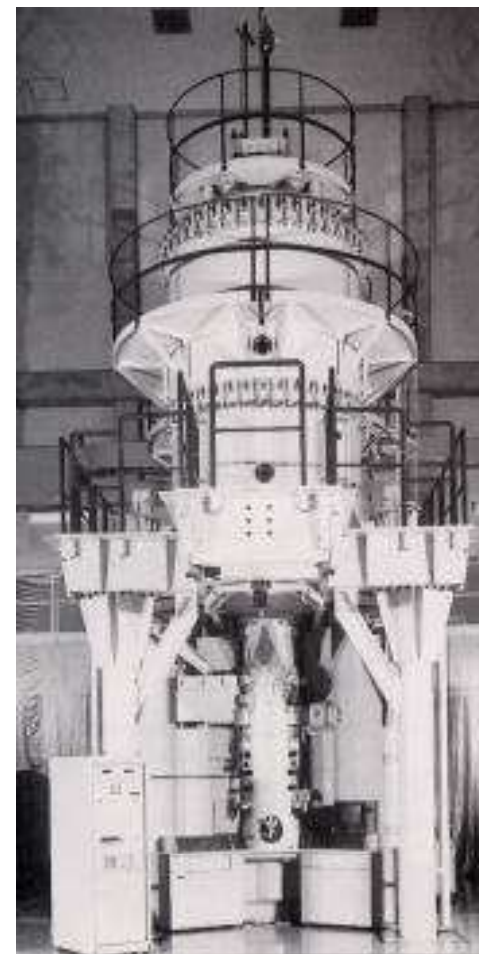


Transmisní elektronový mikroskop

transmisní elektronový mikroskop (TEM)



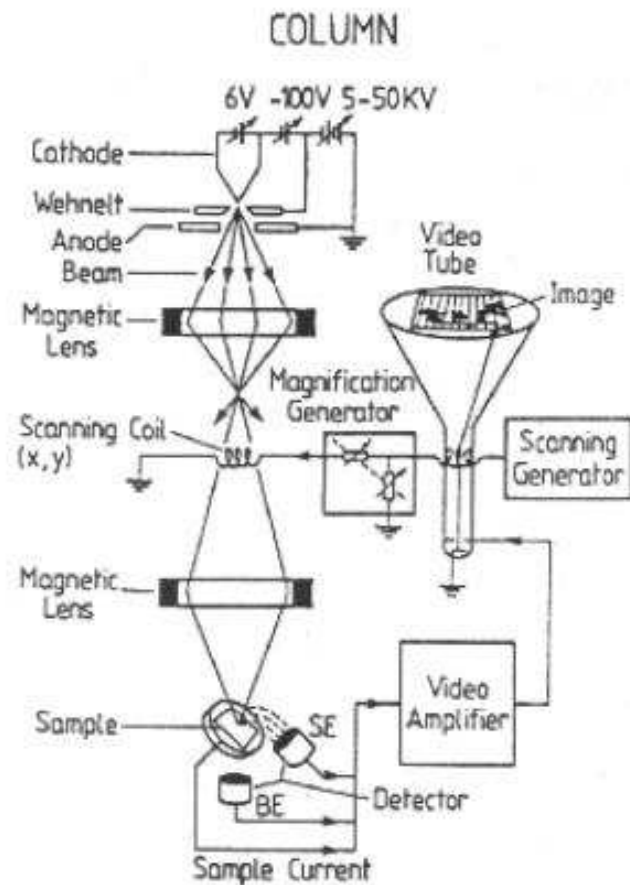
STOLNÍ PŘÍSTROJ
~ 50 000 eV



UNIKÁTNÍ PŘÍSTROJ
~ 1 000 000 eV

Řádkovací elektronový mikroskop

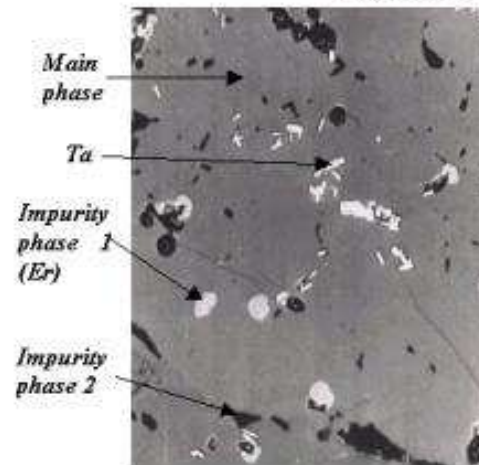
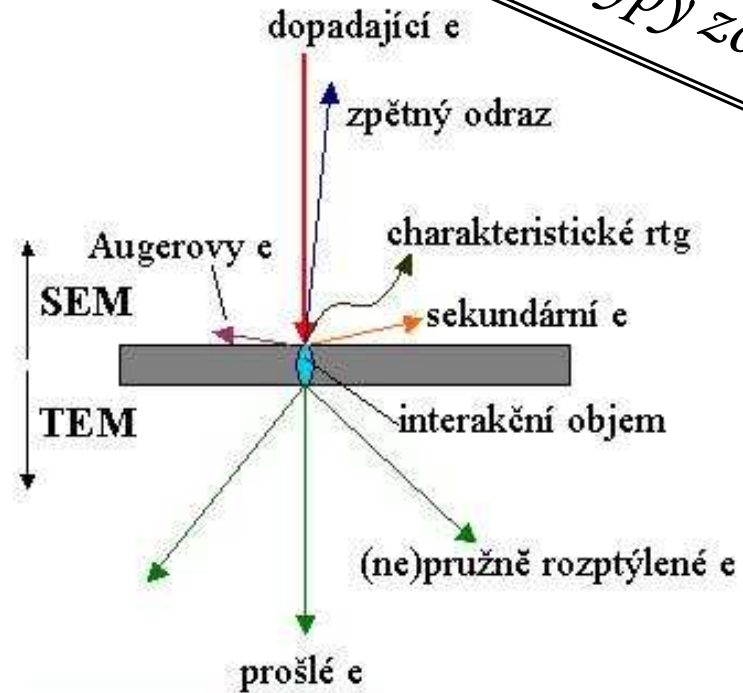
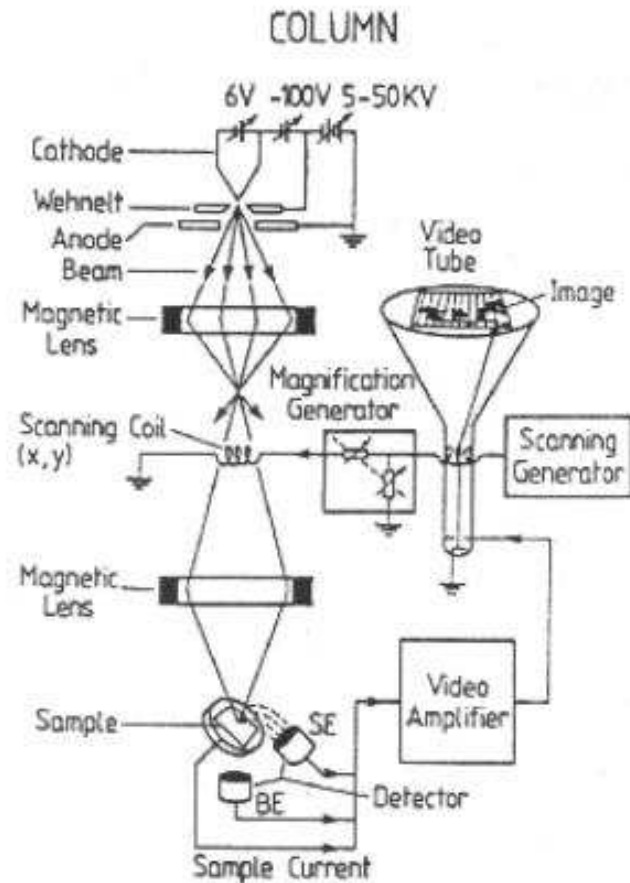
řádkovací elektronový mikroskop
(SEM .. scanning electron microscope)



Řádkovací elektronový mikroskop

Typy zobrazení

řádkovací elektronový mikroskop
(SEM .. scanning electron microscope)

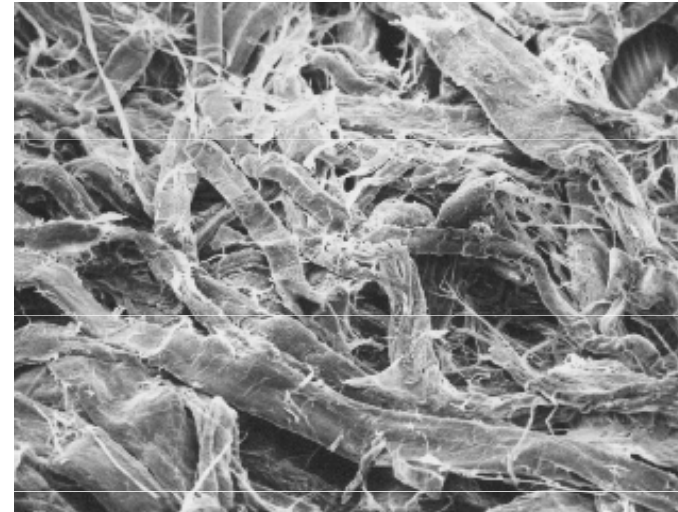


slitina Cu-Nb-Fe

Obrázky ze SEM (neomezená hloubka ostrosti \times optika)



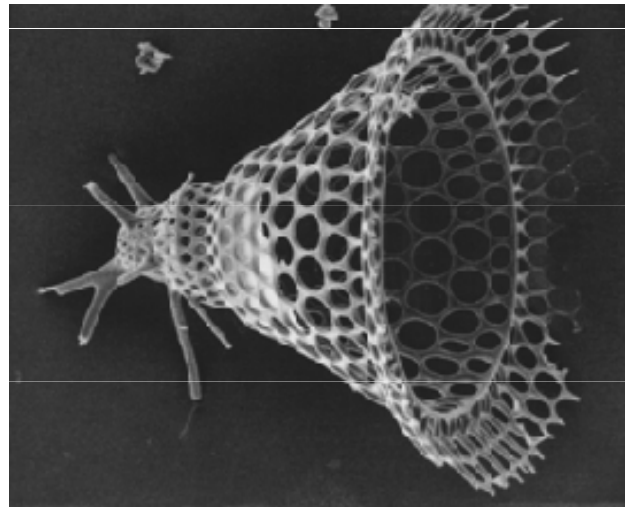
černá vdova (x 500)



toaletní papír (x 500)



inj. stříkačka (x 100)



radiolara (x 750)

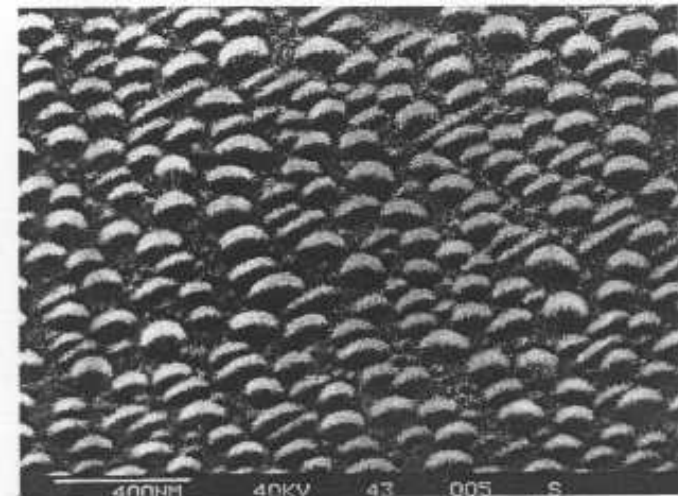
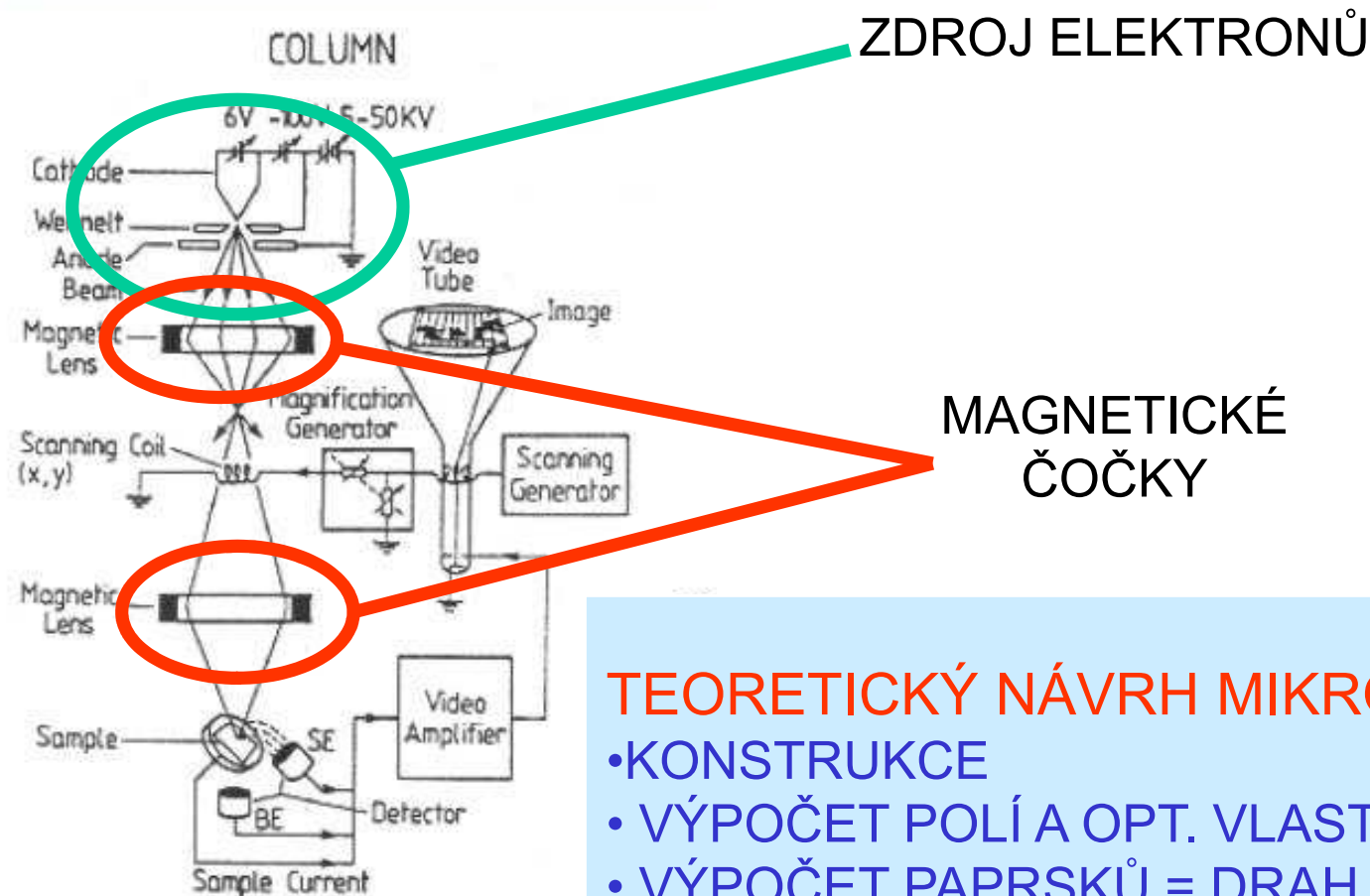


Fig. 3.28. Scanning electron micrograph of an Sn film (nominal coverage 38 monolayers) deposited on a cleaved GaAs surface [3.20]

kapičky Sn na povrchu GaAs

Řádkovací elektronový mikroskop: náš dnešní úhel pohledu

řádkovací elektronový mikroskop
(SEM .. scanning electron microscope)



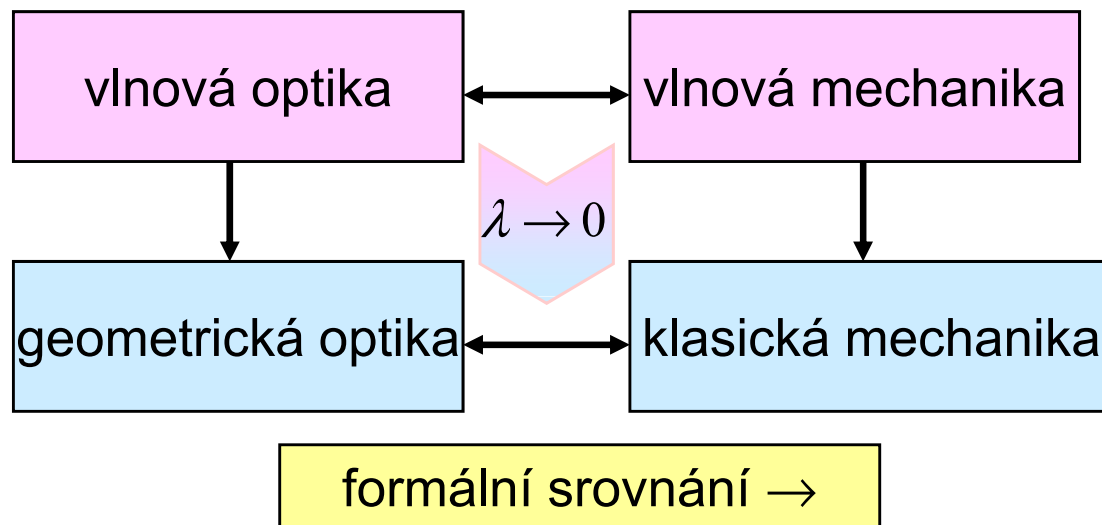
TEORETICKÝ NÁVRH MIKROSKOPU

- KONSTRUKCE
- VÝPOČET POLÍ A OPT. VLASTNOSTÍ
- VÝPOČET PAPERKŮ = DRAH ELEKTRONŮ
- OPTIMALIZACE CHYB ZOBRAZENÍ

Částicová paprsková optika

Využití elektronů pro geometrickou optiku s vysokým rozlišením napadlo lidstvo teprve potom, co vlnové vlastnosti elektronu byly již dobře známy.

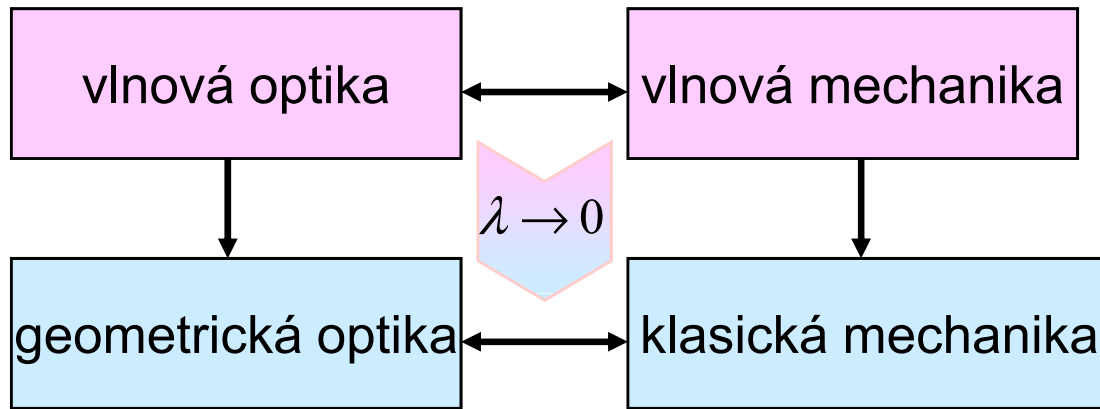
Papršková (geometrická) optika částic



paprsky
eikonálová
rovnice
sférické čočky

trajektorie
Newtonovy
rovnice +
vyloučení času
spojité rozložení
indexu lomu

Paprsková (geometrická) optika částic



formální srovnání →

paprsky
eikonálová rovnice
sférické čočky

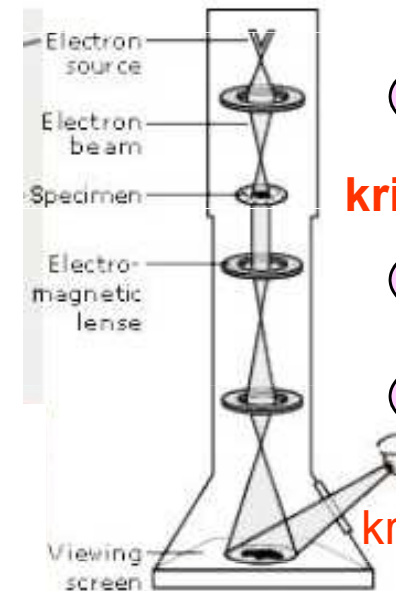
trajektorie
Newtonovy rovnice + vyločení času
spojité rozložení indexu lomu

formální podmínka

$$\lambda \rightarrow 0$$

znamená přesně

$$\lambda \ll L \text{ (char. délka)}$$



ano

kritické místo

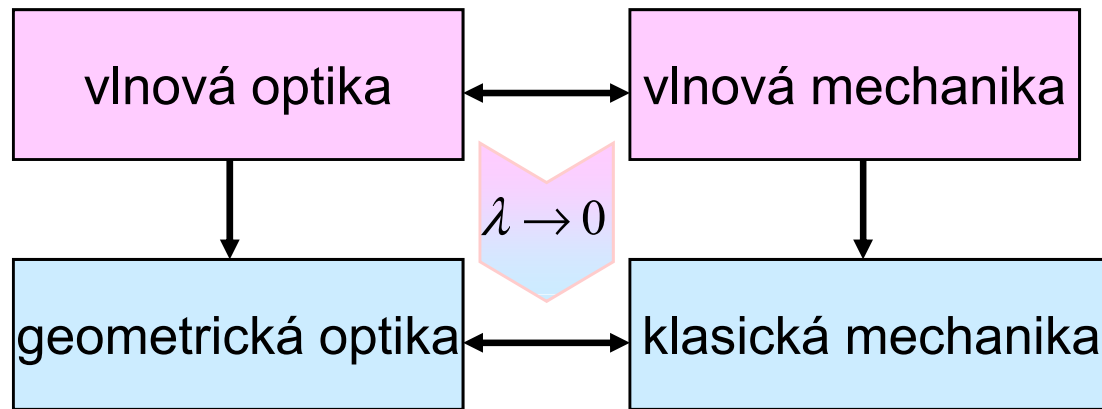
ano

ano

kritické místo

L
 mm
 nm
 mm
 mm
 μm

Paprsková (geometrická) optika částic



formální srovnání →

paprsky
eikonálová rovnice
sférické čočky

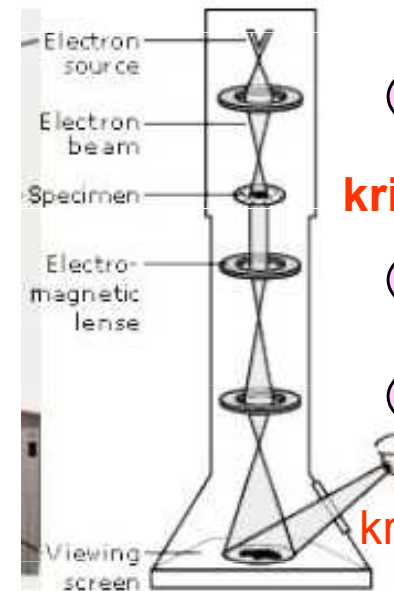
trajektorie
Newtonovy rovnice + vyločení času
spojité rozložení indexu lomu

formální podmínka

$$\lambda \rightarrow 0$$

znamená přesně

$$\lambda \ll L \text{ (char. délka)}$$



ano

kritické místo

ano

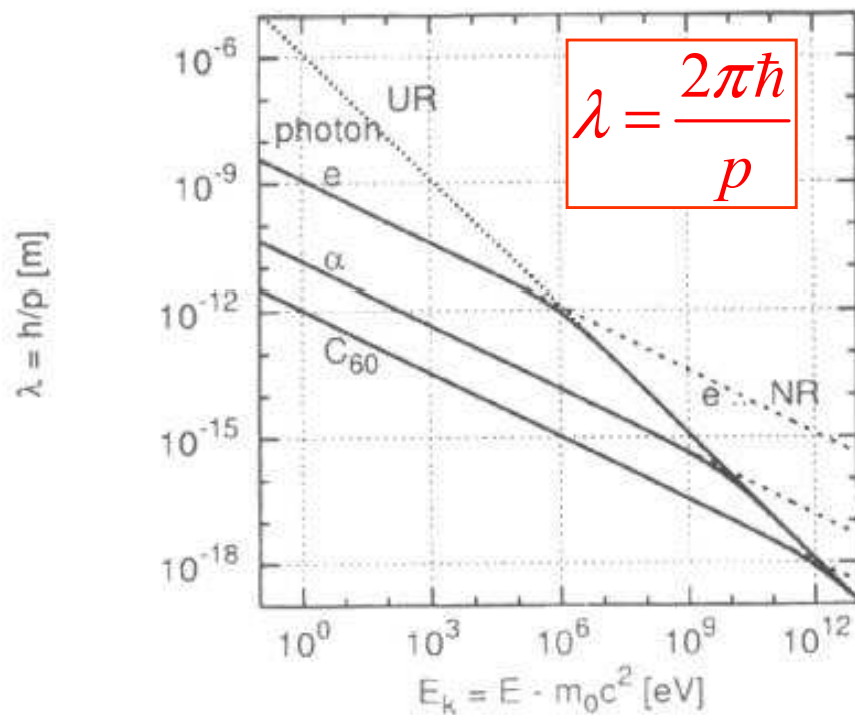
ano

kritické místo

L
 mm
 nm
 mm
 mm
 μm

vlnové délky →

Elektron jako vlna



ZÁSOBNÍK VZORCŮ

$$E = mc^2 = \frac{m_0}{\sqrt{1-\beta^2}} c^2, \quad \beta = \frac{v}{c}$$

$$E = m_0c^2 + E_{\text{kin}}$$

$$p = mv$$

$$p = \sqrt{\frac{E_{\text{kin}}^2}{c^2} + 2m_0E_{\text{kin}}}$$

LIMITY (explicitní hodnoty platí pro elektrony)

nerelativistická („naše“)

předěl

ultrarelativistická

$$E_{\text{kin}} \ll m_0c^2$$

$$E_{\text{kin}} \ll 2m_0c^2$$

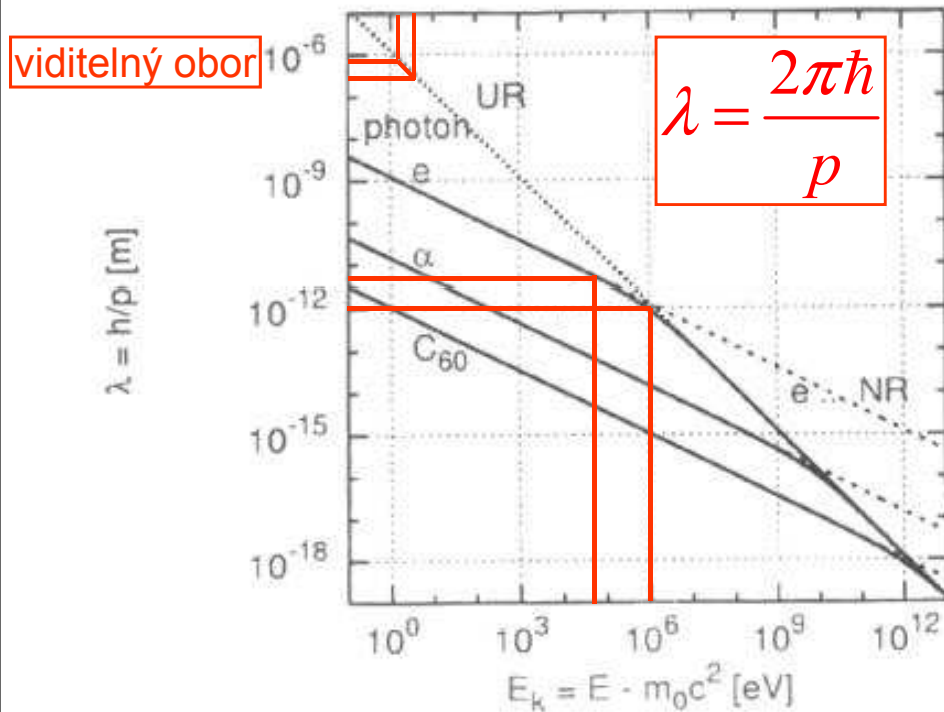
$$E_{\text{kin}} \gg m_0c^2$$

$$\lambda = \frac{2\pi\hbar}{\sqrt{2m_0E_{\text{kin}}}} = \frac{1.22}{\sqrt{E_{\text{kin}}}} \text{ (nm, eV)}$$

$$\approx 10^6 \text{ eV}$$

$$\lambda = \frac{2\pi\hbar c}{E_{\text{kin}}} = \frac{1.24}{E_{\text{kin}}} \text{ (\mu m, eV)}$$

Realistické vlnové délky elektronů v mikroskopu



vlnové délky v pm
(1 nm = 1000 pm)

přístroj	U keV	λ pm
stolní TEM	50	5,46
velký TEM	1000	1,22
SEM	5 – 50	5,46 – 17,3

LIMITY (explicitní hodnoty platí pro elektrony)

nerelativistická („naše“)

předěl

ultrarelativistická

$$E_{\text{kin}} \ll m_0c^2$$

$$\lambda = \frac{2\pi\hbar}{\sqrt{2m_0E_{\text{kin}}}} = \frac{1.22}{\sqrt{E_{\text{kin}}}} \text{ (nm, eV)}$$

$$E_{\text{kin}} \ll 2m_0c^2$$

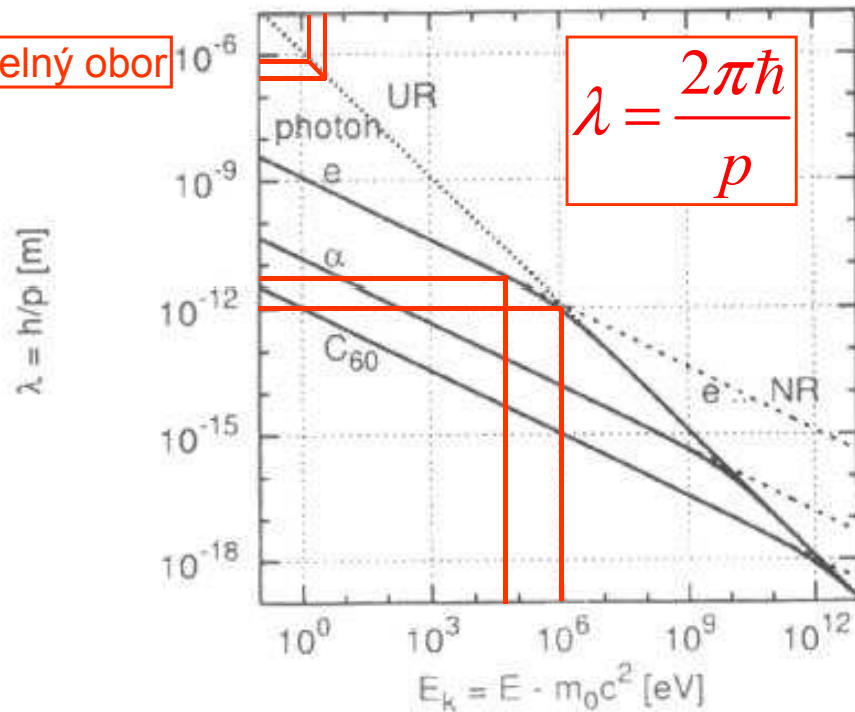
$$\approx 10^6 \text{ eV}$$

$$E_{\text{kin}} \gg m_0c^2$$

$$\lambda = \frac{2\pi\hbar c}{E_{\text{kin}}} = \frac{1.24}{E_{\text{kin}}} \text{ (\mu m, eV)}$$

Realistické vlnové délky elektronů v mikroskopu

viditelný obor



vlnové délky v pm
(1 nm = 1000 pm)

přístroj	U keV	λ pm
stolní TEM	50	5,46
velký TEM	1000	1,22
SEM	5 – 50	5,46 – 17,3

v podstatě vystačíme s korigovanou NR limitou

LIMITY (explicitní hodnoty platí pro elektrony)

nerelativistická („naše“)

předěl

ultrarelativistická

$$E_{\text{kin}} \ll m_0c^2$$

$$\lambda = \frac{2\pi\hbar}{\sqrt{2m_0E_{\text{kin}}}} = \frac{1.22}{\sqrt{E_{\text{kin}}}} \text{ (nm, eV)}$$

$$E_{\text{kin}} \ll 2m_0c^2$$

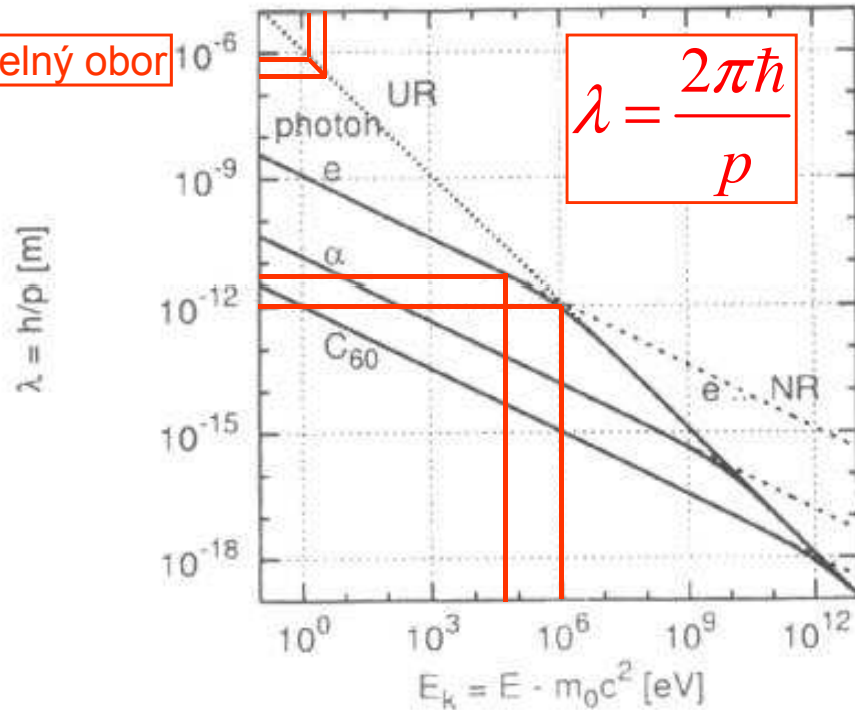
$$\approx 10^6 \text{ eV}$$

$$E_{\text{kin}} \gg m_0c^2$$

$$\lambda = \frac{2\pi\hbar c}{E_{\text{kin}}} = \frac{1.24}{E_{\text{kin}}} \text{ (\mu m, eV)}$$

Realistické vlnové délky elektronů v mikroskopu

viditelný obor



vlnové délky v pm
(1 nm = 1000 pm)

přístroj	U keV	λ pm
stolní TEM	50	5,46
velký TEM	1000	1,22
SEM	5 – 50	5,46 – 17,3

v podstatě vystačíme s konvovanou NR limitou

LIMITY (explicitní hodnoty platí pro elektrony)

nerelativistická („naše“)

$$E_{\text{kin}} \ll m_0 c^2$$

$$\lambda = \frac{2\pi\hbar}{\sqrt{2m_0 E_{\text{kin}}}} = \frac{1.22}{\sqrt{E_{\text{kin}}}} \text{ (nm, eV)}$$

předěl

$$E_{\text{kin}} \ll 2m_0 c^2$$

$$\approx 10^6 \text{ eV}$$

ultrarelativistická

PROČ
PIKOMETRY
???

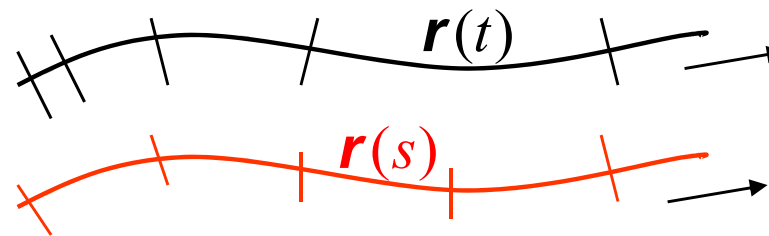
$$\lambda = \frac{1.24}{E_{\text{kin}}} \text{ (}\mu\text{m, eV)}$$

Trajektorie ve vnějších polích

trajektorie (probíhána v čase)

paprsek (křivka parametrizovaná délkou dráhy)

Newtonovy rovnice
(Lorentzova síla)



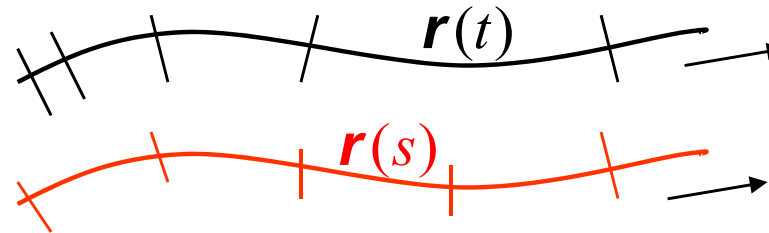
$$\ddot{\mathbf{r}} = \dot{\mathbf{v}} = \frac{e}{m} (\mathbf{E} + \mathbf{v} \times \mathbf{B})$$

Trajektorie ve vnějších polích

trajektorie (probíhána v čase)

paprsek (křivka parametrizovaná délkou dráhy)

Newtonovy rovnice
(Lorentzova síla)



$$\ddot{\mathbf{r}} = \dot{\mathbf{v}} = \frac{e}{m} (\mathbf{E} + \mathbf{v} \times \mathbf{B})$$

zatím vynecháme

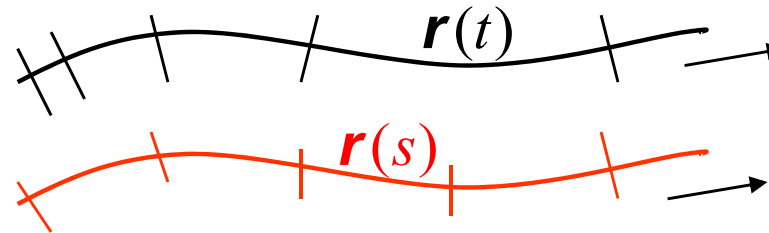
$$\ddot{\mathbf{r}} = \dot{\mathbf{v}} = -\frac{e}{m} \nabla \Phi$$

elektrostatický
potenciál

Trajektorie ve vnějších polích

trajektorie (probíhána v čase)

paprsek (křivka parametrizovaná délkou dráhy)



Newtonovy rovnice
(Lorentzova síla)

$$\ddot{\mathbf{r}} = \dot{\mathbf{v}} = \frac{e}{m} (\mathbf{E} + \mathbf{v} \times \mathbf{B}) \quad \text{zatím vynecháme}$$

$$\ddot{\mathbf{r}} = \dot{\mathbf{v}} = -\frac{e}{m} \nabla \Phi \quad \text{elektrostatický potenciál}$$

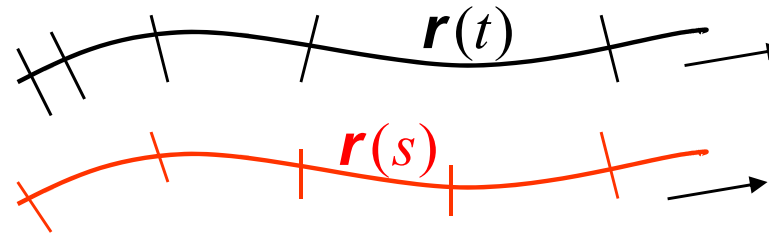
Index lomu pro elektrony

$$\begin{aligned} n(\mathbf{r}) \propto v(\mathbf{r}) &= \sqrt{\frac{2}{m} (E - U(\mathbf{r}))} \quad v(\mathbf{r}) = |\dot{\mathbf{r}}(\mathbf{r}, t)| \\ &= \sqrt{\frac{2}{m} E - \frac{2e}{m} \Phi(\mathbf{r})} \end{aligned}$$

Trajektorie ve vnějších polích

trajektorie (probíhána v čase)

paprsek (křivka parametrizovaná délkou dráhy)



Newtonovy rovnice
(Lorentzova síla)

$$\ddot{\mathbf{r}} = \dot{\mathbf{v}} = \frac{e}{m} (\mathbf{E} + \mathbf{v} \times \mathbf{B}) \quad \text{zatím vynecháme}$$

$$\ddot{\mathbf{r}} = \dot{\mathbf{v}} = -\frac{e}{m} \nabla \Phi \quad \text{elektrostatický potenciál}$$

Index lomu pro elektrony

$$n(\mathbf{r}) \propto v(\mathbf{r}) = \sqrt{\frac{2}{m} (E - U(\mathbf{r}))} \quad v(\mathbf{r}) = |\dot{\mathbf{r}}(\mathbf{r}, t)|$$

$$= \sqrt{\frac{2}{m} E - \frac{2e}{m} \Phi(\mathbf{r})}$$

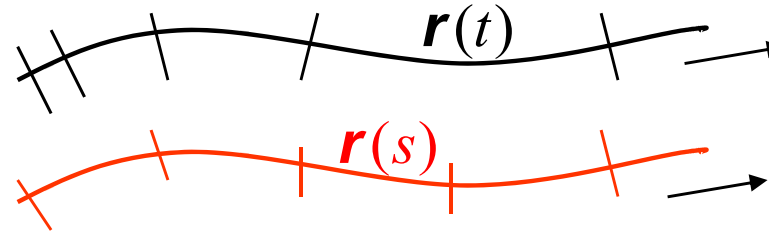
Vyloučení času

$$\frac{d\mathbf{v}}{ds} = \frac{d\mathbf{v}}{dt} \cdot \frac{dt}{ds} = -\frac{e}{m} \nabla \Phi \cdot \frac{1}{v} = \nabla v$$

Trajektorie ve vnějších polích

trajektorie (probíhána v čase)

paprsek (křivka parametrizovaná délkou dráhy)



Newtonovy rovnice
(Lorentzova síla)

$$\ddot{\mathbf{r}} = \dot{\mathbf{v}} = \frac{e}{m} (\mathbf{E} + \mathbf{v} \times \mathbf{B}) \quad \text{zatím vynecháme}$$

$$\ddot{\mathbf{r}} = \dot{\mathbf{v}} = -\frac{e}{m} \nabla \Phi \quad \text{elektrostatický potenciál}$$

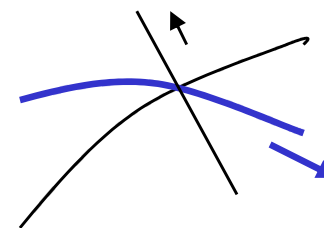
Index lomu pro elektrony

$$n(\mathbf{r}) \propto v(\mathbf{r}) = \sqrt{\frac{2}{m} (E - U(\mathbf{r}))} \quad v(\mathbf{r}) = |\dot{\mathbf{r}}(\mathbf{r}, t)|$$

$$= \sqrt{\frac{2}{m} E - \frac{2e}{m} \Phi(\mathbf{r})}$$

Vyloučení času

$$\frac{d\mathbf{v}}{ds} = \frac{d\mathbf{v}}{dt} \cdot \frac{dt}{ds} = -\frac{e}{m} \nabla \Phi \cdot \frac{1}{v} = \nabla v$$



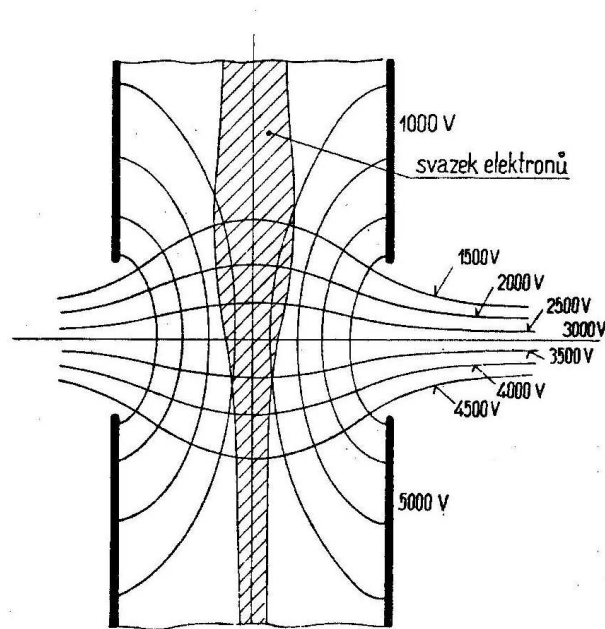
diferenciální
tvar
zákona lomu

Teoretický návrh dílů pro elektronovou optiku

Od neurčité představy, že elektrické či magnetické pole vychýlí elektronové paprsky žádoucím směrem přejdeme k návrhu optických elementů.

Dva kroky ve studiu optického dílu

PŘÍKLAD: URYCHLOVACÍ SYSTÉM



Obr. 131. Urychlovací systém.

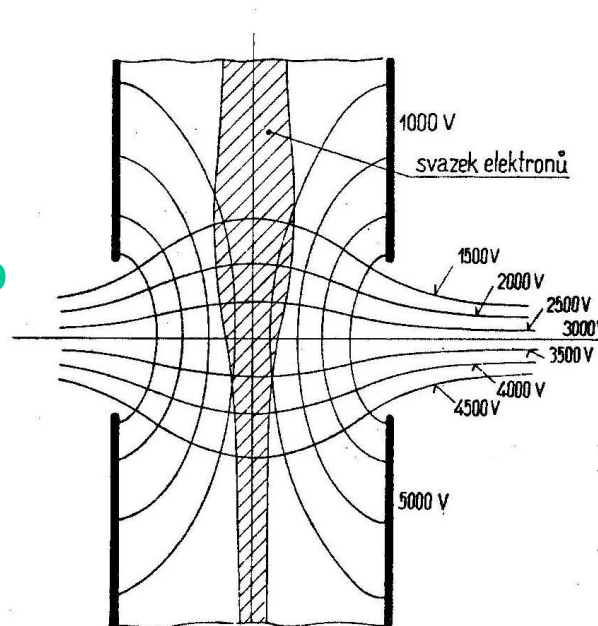
Dva kroky ve studiu optického dílu

PŘÍKLAD: URYCHLOVACÍ SYSTEM

1. KROK: URČENÍ Φ

- ve vakuu
- geometrie kovových elektrod
- potenciály elektrod

vstup



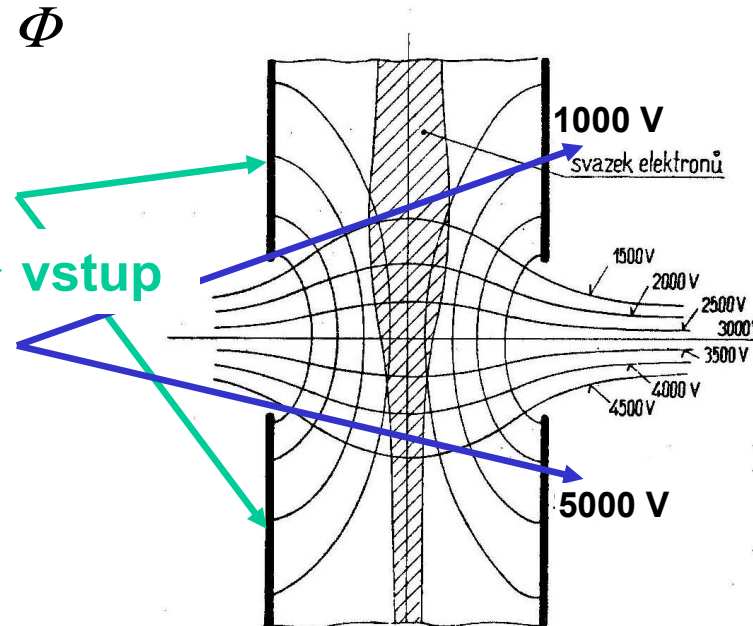
Obr. 131. Urychlovací systém.

Dva kroky ve studiu optického dílu

PŘÍKLAD: URYCHLOVACÍ SYSTEM

1. KROK: URČENÍ Φ

- ve vakuu
- geometrie kovových elektrod
- potenciály elektrod



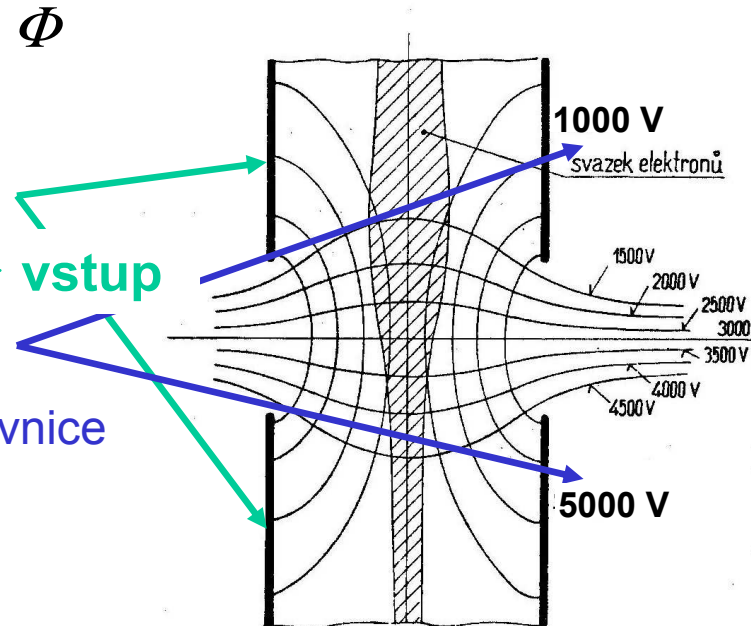
Obr. 131. Urychlovací systém.

Dva kroky ve studiu optického dílu

PŘÍKLAD: URYCHLOVACÍ SYSTEM

1. KROK: URČENÍ Φ

- ve vakuu
- geometrie kovových elektrod
- potenciály elektrod
- řešení Laplaceovy rovnice při okrajových podmínkách daných elektrodami



Obr. 131. Urychlovací systém.

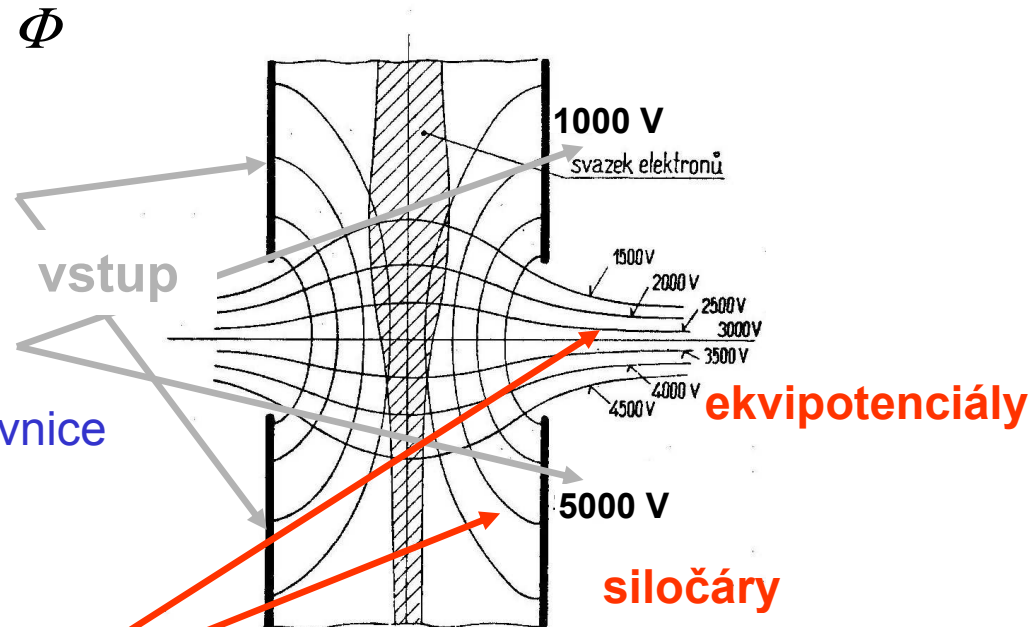
$$\Delta\Phi(\mathbf{r}) = 0$$

Dva kroky ve studiu optického dílu

PŘÍKLAD: URYCHLOVACÍ SYSTEM

1. KROK: URČENÍ Φ

- ve vakuu
- geometrie kovových elektrod
- potenciály elektrod
- řešení Laplaceovy rovnice při okrajových podmínkách daných elektrodami



Obr. 131. Urychlovací systém.

$$\Delta\Phi(\mathbf{r}) = 0$$

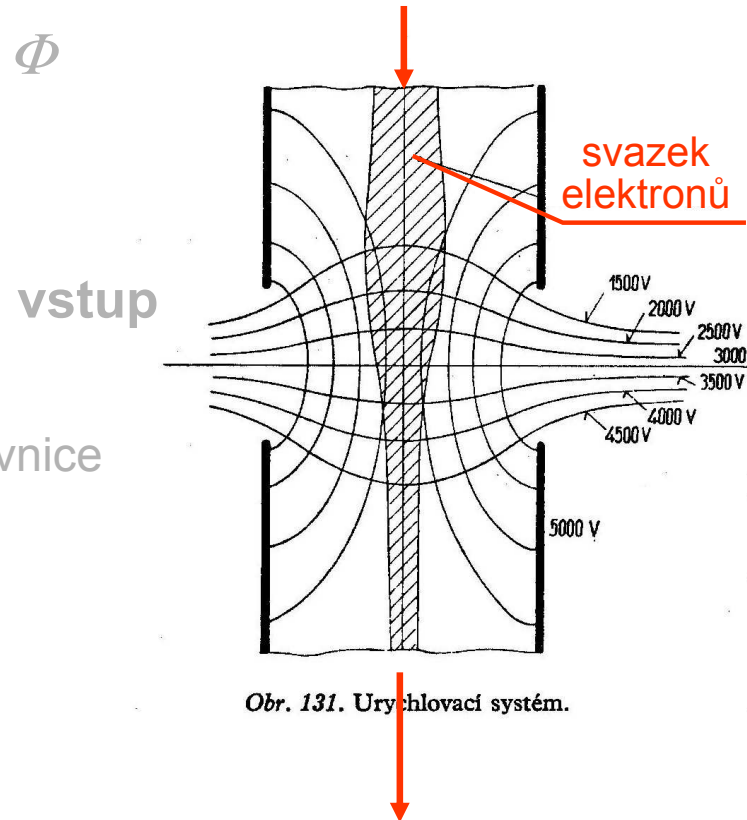
Dva kroky ve studiu optického dílu

PŘÍKLAD: URYCHLOVACÍ SYSTEM

1. KROK: URČENÍ Φ

- ve vakuu
- geometrie kovových elektrod
- potenciály elektrod
- řešení Laplaceovy rovnice při okrajových podmínkách daných elektrodami

$$\Delta\Phi(\mathbf{r}) = 0$$



2. KROK: PAPRSKY

- blízko osy systému – paraxiální oblast
- vstupní energie E
- výstupní energie $E + 4000 \text{ eV}$
- zlepšená kolimace
- hledání trajektorií
 - buď přímo
 - z paraxiální rovnice + korekce na sférickou vadu

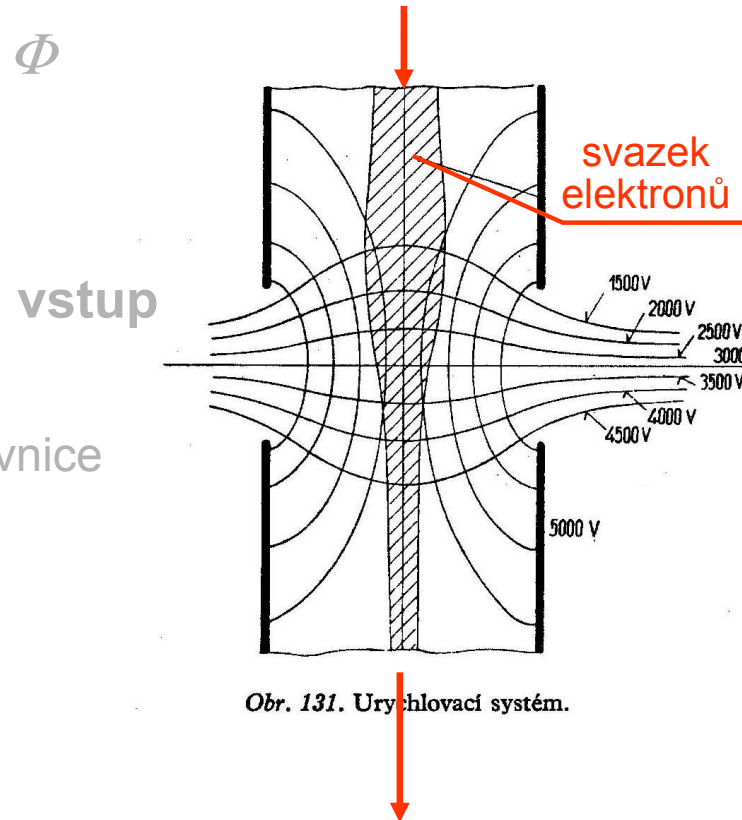
Dva kroky ve studiu optického dílu

PŘÍKLAD: URYCHLOVACÍ SYSTEM

1. KROK: URČENÍ Φ

- ve vakuu
- geometrie kovových elektrod
- potenciály elektrod
- řešení Laplaceovy rovnice při okrajových podmínkách daných elektrodami

$$\Delta\Phi(\mathbf{r}) = 0$$



2. KROK: PAPRSKY

- blízko osy systému – paraxiální oblast
- vstupní energie E
- výstupní energie $E + 4000 \text{ eV}$
- zlepšená kolimace
- hledání trajektorií
 - buď přímo
 - z paraxiální rovnice + korekce na sférickou vadu

I. Určení průběhu potenciálu

V principu velmi jednoduchý úkol: vyřešit Laplaceovu rovnici s Dirichletovou okrajovou podmínkou.

Tato část celého postupu však klade největší nároky na použité numerické metody. Bez nich nelze počítat s úspěchem.

Řešení Laplaceovy rovnice

LAPLACEOVA
ROVNICE

DIRICHLETOVA
ÚLOHA

$$\Delta\Phi(\mathbf{r})=0$$
$$\partial_{xx}\Phi(x,y,z)+\partial_{yy}\Phi+\partial_{zz}\Phi=0$$

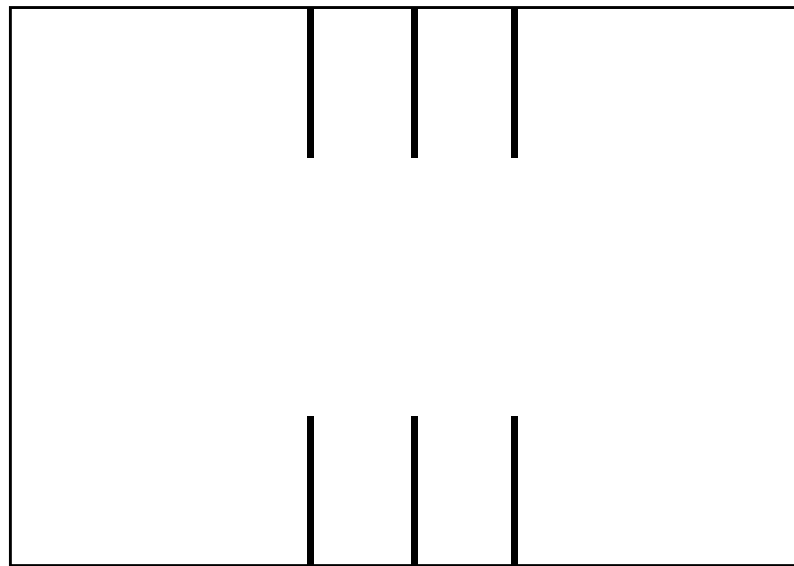
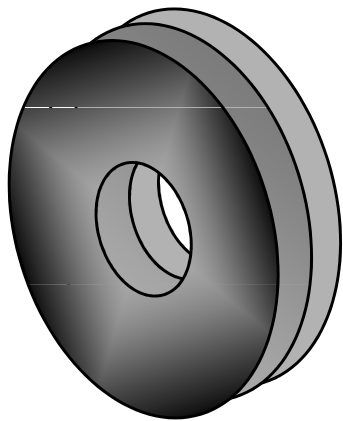
Okrajové podmínky

LR řešíme ve zvolené dostatečně rozsáhlé, ale co nejmenší oblasti.

Předepsány jsou hodnoty neznámé na hranici oblasti:

- ♠ na povrchu elektrod
- ♠ na vnější hranici

Příklad čočky



Řešení Laplaceovy rovnice

LAPLACEOVA
ROVNICE

DIRICHLETOVA
ÚLOHA

$$\Delta\Phi(\mathbf{r})=0$$
$$\partial_{xx}\Phi(x,y,z)+\partial_{yy}\Phi+\partial_{zz}\Phi=0$$

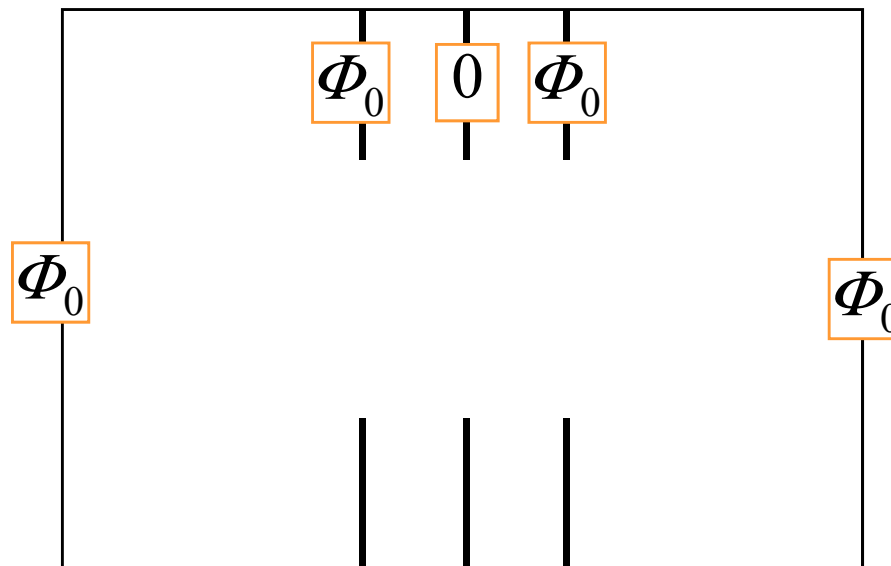
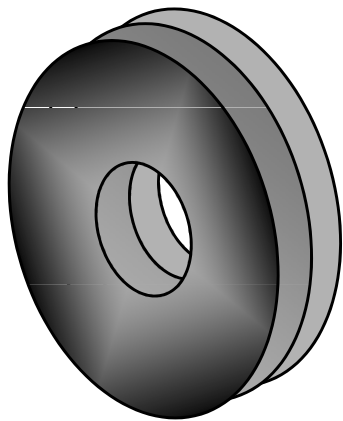
Okrajové podmínky

LR řešíme ve zvolené dostatečně rozsáhlé, ale co nejmenší oblasti.

Předepsány jsou hodnoty neznámé na hranici oblasti:

♣ na povrchu elektrod ♣ na vnější hranici

Příklad čočky



Řešení Laplaceovy rovnice

LAPLACEOVA
ROVNICE

DIRICHLETOVA
ÚLOHA

$$\Delta\Phi(\mathbf{r}) = 0$$
$$\partial_{xx}\Phi(x, y, z) + \partial_{yy}\Phi + \partial_{zz}\Phi = 0$$

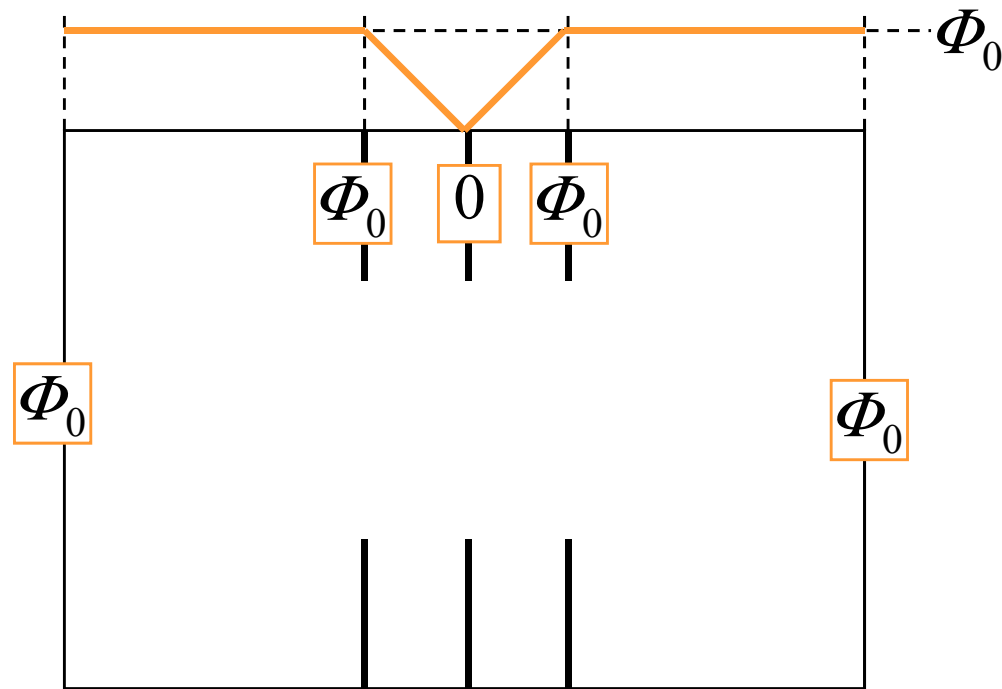
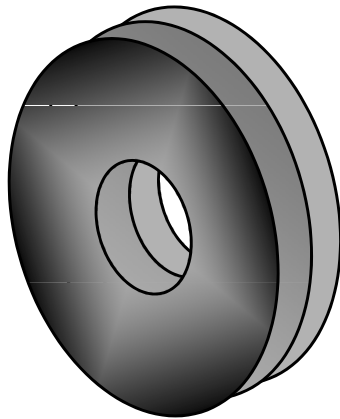
Okrajové podmínky

LR řešíme ve zvolené dostatečně rozsáhlé, ale co nejmenší oblasti.

Předepsány jsou hodnoty neznámé na hranici oblasti:

♣ na povrchu elektrod ♣ na vnější hranici

Příklad čočky



Řešení Laplaceovy rovnice

LAPLACEOVA
ROVNICE

DIRICHLETOVA
ÚLOHA

$$\Delta\Phi(\mathbf{r})=0$$
$$\partial_{xx}\Phi(x,y,z)+\partial_{yy}\Phi+\partial_{zz}\Phi=0$$

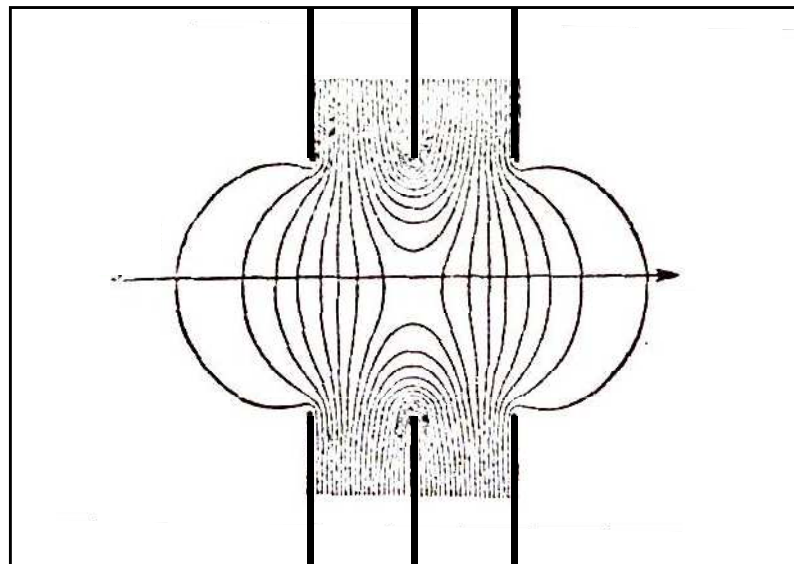
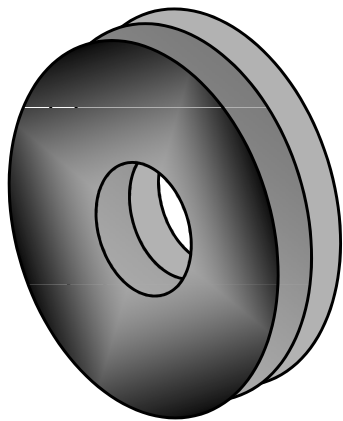
Okrajové podmínky

LR řešíme ve zvolené dostatečně rozsáhlé, ale co nejmenší oblasti.

Předepsány jsou hodnoty neznámé na hranici oblasti:

- ♠ na povrchu elektrod
- ♠ na vnější hranici

Příklad čočky



Řešení Laplaceovy rovnice

LAPLACEOVA
ROVNICE

DIRICHLETOVA
ÚLOHA

$$\Delta\Phi(\mathbf{r})=0$$
$$\partial_{xx}\Phi(x,y,z)+\partial_{yy}\Phi+\partial_{zz}\Phi=0$$

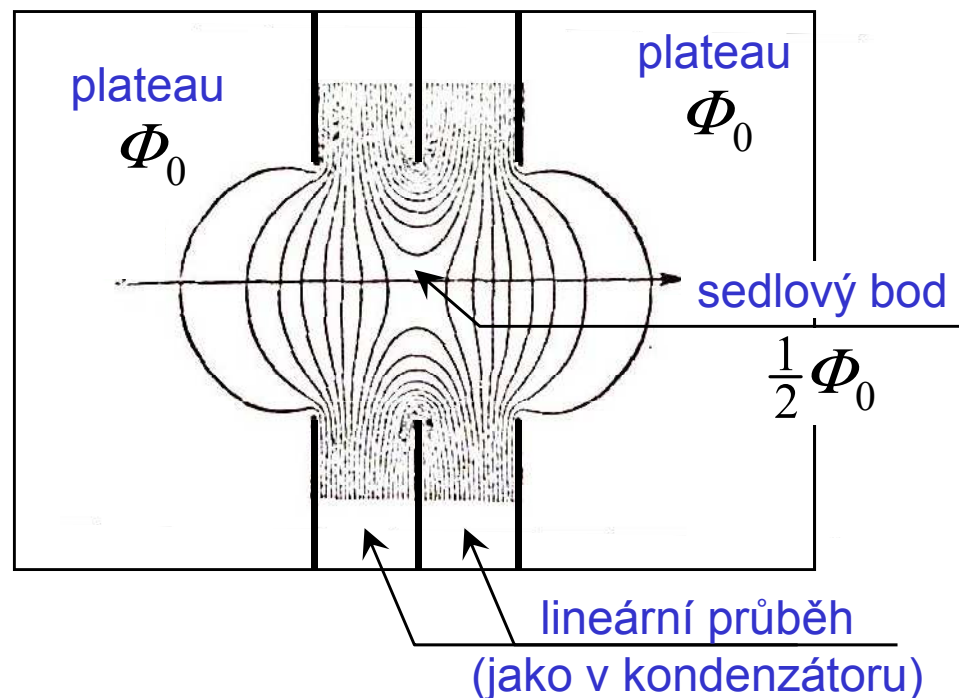
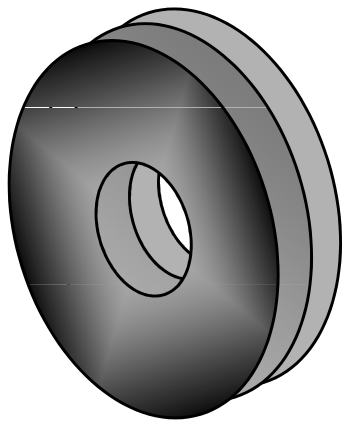
Okrajové podmínky

LR řešíme ve zvolené dostatečně rozsáhlé, ale co nejmenší oblasti.

Předepsány jsou hodnoty neznámé na hranici oblasti:

- ♣ na povrchu elektrod
- ♣ na vnější hranici

Příklad čočky



Řešení Laplaceovy rovnice

LAPLACEOVA
ROVNICE

$$\Delta\Phi(\mathbf{r}) = 0$$
$$\partial_{xx}\Phi(x, y, z) + \partial_{yy}\Phi + \partial_{zz}\Phi = 0$$

NUMERICKÉ ŘEŠENÍ

Obecně 3D úloha.
Použití osové symetrie

$$\partial_{rr}\Phi(r, z) + \frac{1}{r}\partial_r\Phi + \partial_{zz}\Phi = 0$$

numerické techniky

metoda
sítí

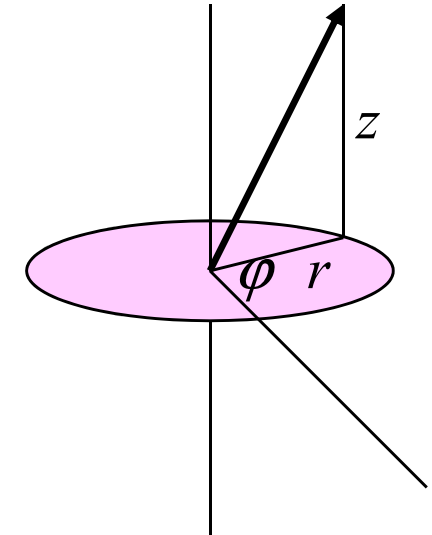
klasický postup:
derivace nahrazeny
diferencemi

dnes překonané

metoda
konečných prvků

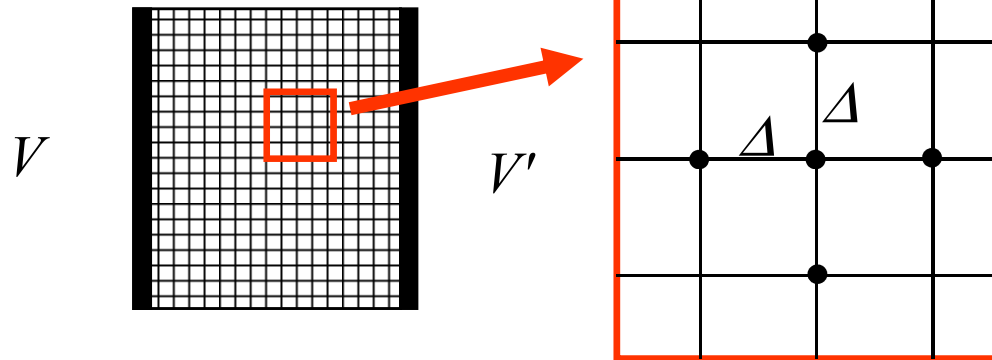
triangulace
lineární interpolace
variační princip

dnes nejrozšířenější



Základní myšlenka: nahradit diferenciální rovnici diferenční

$$\Delta\Phi(\mathbf{r}) = 0$$



2D ILUSTRACE

$$x_j = x_0 + j \cdot \Delta$$

$$y_k = y_0 + k \cdot \Delta$$

$$\Phi_{j,k} = \Phi(x_j, y_k)$$

$$\begin{aligned} \Delta\Phi(\mathbf{r}_{jk}) &= \partial_{xx}\Phi(x_j, y_k) + \partial_{yy}\Phi(x_j, y_k) \rightarrow \\ &\approx \frac{\Phi_{j+1,k} - 2\Phi_{j,k} + \Phi_{j-1,k}}{\Delta^2} + \frac{\Phi_{j,k+1} - 2\Phi_{j,k} + \Phi_{j,k-1}}{\Delta^2} \end{aligned}$$

... soustava lineárních rovnic pro $\Phi_{j,k}$

Numerické metody: Metoda konečných prvků

Základní myšlenka: nahradit **diferenciální rovnici** **variační úlohou**

$$\left. \begin{array}{l} \Delta\Phi(\mathbf{r}) = 0 \\ + \text{Dirichletovy okraj. podmínky} \end{array} \right\} \longleftrightarrow \mathcal{J}[\Phi] = \int dV \nabla\Phi \cdot \nabla\Phi = \text{Min}$$

1. Integrace po oblasti řešení
2. Do soutěže vstupují jen funkce Φ splňující okrajové podmínky
3. Minimum budeme hledat jen ve třídě vhodných aproximativních Φ

Numerické metody: Metoda konečných prvků

Základní myšlenka: nahradit **diferenciální rovnici** **variační úlohou**

$$\Delta\Phi(\mathbf{r})=0$$

+ Dirichletovy okraj. podmínky

$$\mathcal{J}[\Phi]=\int dV \nabla\Phi\cdot\nabla\Phi = \text{Min}$$

Variační podmínka

$\check{\Phi}$ nechť dává minimum $\mathcal{J}[\Phi]$

Pak

$$\delta\mathcal{J}=2\int dV \nabla\delta\Phi\cdot\nabla\check{\Phi}=0$$

pro všechna $\delta\Phi$ splňující homogenní okrajovou podmínku.

1. Integrace po oblasti řešení
2. Do soutěže vstupují jen funkce Φ splňující okrajové podmínky
3. Minimum budeme hledat jen ve třídě vhodných aproximativních Φ

Numerické metody: Metoda konečných prvků

Základní myšlenka: nahradit **diferenciální rovnici** **variační úlohou**

$$\Delta\Phi(\mathbf{r})=0$$

+ Dirichletovy okraj. podmínky

$$\mathcal{J}[\Phi] = \int dV \nabla\Phi \cdot \nabla\Phi = \text{Min}$$

Variační podmínka

$\check{\Phi}$ nechť dává minimum $\mathcal{J}[\Phi]$

Pak

$$\delta\mathcal{J} = 2 \int dV \nabla\delta\Phi \cdot \nabla\check{\Phi} = 0$$

pro všechna $\delta\Phi$ splňující homogenní okrajovou podmínku.

1. Integrace po oblasti řešení
2. Do soutěže vstupují jen funkce Φ splňující okrajové podmínky
3. Minimum budeme hledat jen ve třídě vhodných aproximativních Φ

Motivační úvaha (standardní)

$$\begin{aligned} & \mathcal{J}[\check{\Phi} \pm g\delta\Phi] - \mathcal{J}[\check{\Phi}] \\ &= \pm g\delta\mathcal{J} + g^2 O[\delta^2\Phi] \geq 0 \end{aligned}$$

Numerické metody: Metoda konečných prvků

Základní myšlenka: nahradit **diferenciální rovnici** **variační úlohou**

$$\Delta\Phi(\mathbf{r})=0$$

+ Dirichletovy okraj. podmínky

$$\mathcal{J}[\Phi]=\int dV \nabla\Phi\cdot\nabla\Phi = \text{Min}$$

Variační podmínka

$\check{\Phi}$ nechť dává minimum $\mathcal{J}[\Phi]$

Pak

$$\delta\mathcal{J}=2\int dV \nabla\delta\Phi\cdot\nabla\check{\Phi}=0$$

pro všechna $\delta\Phi$ splňující homogenní okrajovou podmínku.

1. Integrace po oblasti řešení
2. Do soutěže vstupují jen funkce Φ splňující okrajové podmínky
3. Minimum budeme hledat jen ve třídě vhodných aproximativních Φ

Motivační úvaha (standardní)

$$\begin{aligned} &\mathcal{J}[\check{\Phi}\pm g\delta\Phi]-\mathcal{J}[\check{\Phi}] \\ &= \pm g\delta\mathcal{J}+g^2O[\delta^2\Phi]\geq 0 \end{aligned}$$

aproximace

Numerické metody: Metoda konečných prvků

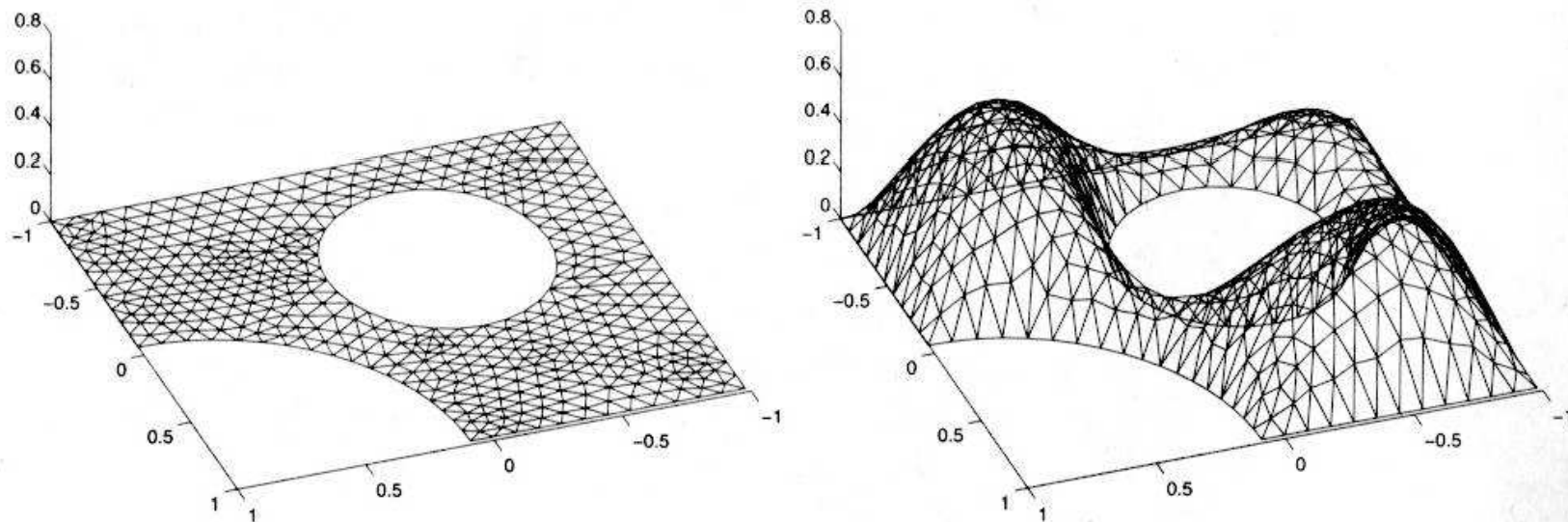
Triangulace Oblast řešení je rozdělena na síť dostatečně malých elementárních oblastí, např. trojúhelníků

Interpolace Aproximativní funkce interpoluje polynomiálně, např. lineárně, hodnoty ve vrcholech sítě

Znázornění triangulace v metodě konečných prvků

Podle Partial Differential Equation Toolbox for use with MATLAB:
User's Guide

This is like using flat tiles to build a waterproof dome, which is perfectly possible.



A Triangular Mesh (left) and a Continuous Piecewise Linear Function on That Mesh

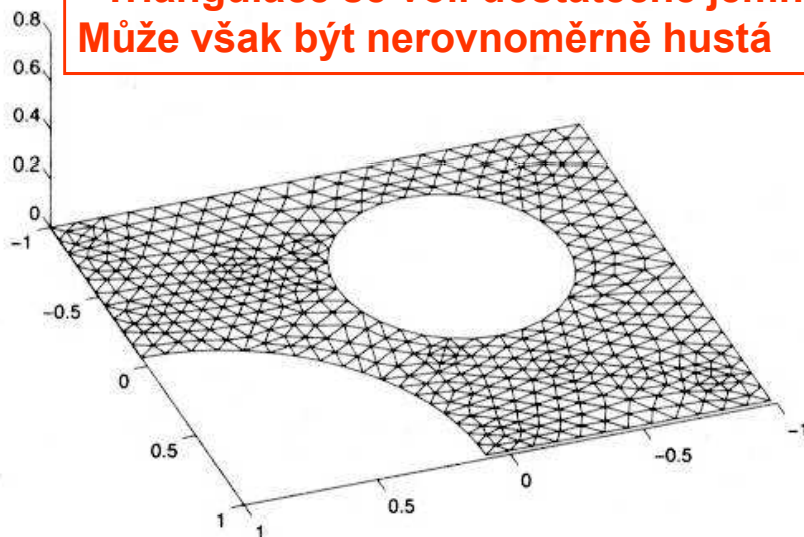
Znázornění triangulace v metodě konečných prvků

Podle Partial Differential Equation Toolbox for use with MATLAB:
User's Guide

This is like using flat tiles to build a waterproof dome, which is perfectly possible.

- Definiční obor může být složitá oblast
- Triangulace se volí dostatečně jemná. Může však být nerovnoměrně hustá

- Interpoláční funkce v každé buňce je lineární, u hran jsou zlomy sklonu
- uzly na hranici vystihují okrajovou podmínku (zde homogenní, tj. nulovou)



A Triangular Mesh (left) and a Continuous Piecewise Linear Function on That Mesh

Numerické metody: Metoda konečných prvků

Triangulace Oblast řešení je rozdělena na síť dostatečně malých elementárních oblastí, např. trojúhelníků

Interpolace Aproximativní funkce interpoluje polynomiálně, např. lineárně, hodnoty ve vrcholech sítě

Variační podmínka Gradient této interpolace je po částech spojitý ... je použitelný ve variačním funkcionálu (hledané řešení má přitom spojitě druhé derivace)

Numerické metody: Metoda konečných prvků

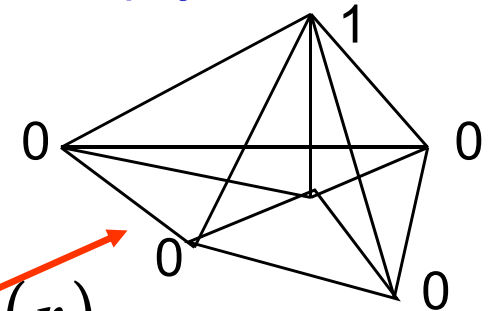
Triangulace Oblast řešení je rozdělena na síť dostatečně malých elementárních oblastí, např. trojúhelníků

Interpolace Aproximativní funkce interpoluje polynomiálně, např. lineárně, hodnoty ve vrcholech sítě

Variační podmínka Gradient této interpolace je po částech spojitý ... je použitelný ve variačním funkcionálu (hledané řešení má přitom spojité druhé derivace)

Konečné prvky S každým vrcholem sítě spojíme jeden „prvek“ podle obrázku. Máme tak rozklad

$$\Phi \xrightarrow[\text{interpolace}]{\text{triangulace}} \Phi_{\text{var}} \xrightarrow[\text{koneč. prvků}]{\text{rozklad do}} \sum_n \Phi(\mathbf{r}_n) \eta_n(\mathbf{r})$$



Numerické metody: Metoda konečných prvků

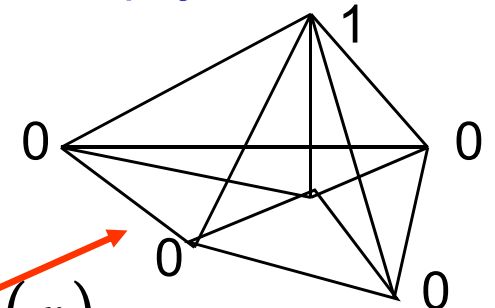
Triangulace Oblast řešení je rozdělena na síť dostatečně malých elementárních oblastí, např. trojúhelníků

Interpolace Aproximativní funkce interpoluje polynomiálně, např. lineárně, hodnoty ve vrcholech sítě

Variační podmínka Gradient této interpolace je po částech spojitý ... je použitelný ve variačním funkcionálu (hledané řešení má přitom spojité druhé derivace)

Konečné prvky S každým vrcholem sítě spojíme jeden „prvek“ podle obrázku. Máme tak rozklad

$$\Phi \xrightarrow[\text{interpolace}]{\text{triangulace}} \Phi_{\text{var}} \xrightarrow[\text{koneč. prvků}]{\text{rozklad do}} \sum_n \Phi(\mathbf{r}_n) \eta_n(\mathbf{r})$$



Lineární rovnice Soustava lineárních rovnic k řešení:

$$\int dV \nabla \delta\Phi \cdot \nabla \check{\Phi} = 0 \quad \text{variační podmínka}$$

Numerické metody: Metoda konečných prvků

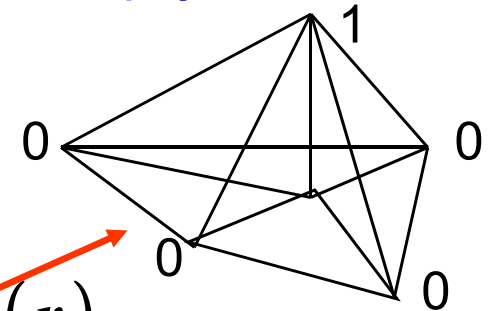
Triangulace Oblast řešení je rozdělena na síť dostatečně malých elementárních oblastí, např. trojúhelníků

Interpolace Aproximativní funkce interpoluje polynomiálně, např. lineárně, hodnoty ve vrcholech sítě

Variační podmínka Gradient této interpolace je po částech spojitý ... je použitelný ve variačním funkcionálu (hledané řešení má přitom spojité druhé derivace)

Konečné prvky S každým vrcholem sítě spojíme jeden „prvek“ podle obrázku. Máme tak rozklad

$$\Phi \xrightarrow[\text{interpolace}]{\text{triangulace}} \Phi_{\text{var}} \xrightarrow[\text{koneč. prvků}]{\text{rozklad do}} \sum_n \Phi(\mathbf{r}_n) \eta_n(\mathbf{r})$$



Lineární rovnice Soustava lineárních rovnic k řešení:

$$\int dV \nabla \eta_n \cdot \nabla \sum_m \eta_m \times \Phi(\mathbf{r}_m) = 0$$

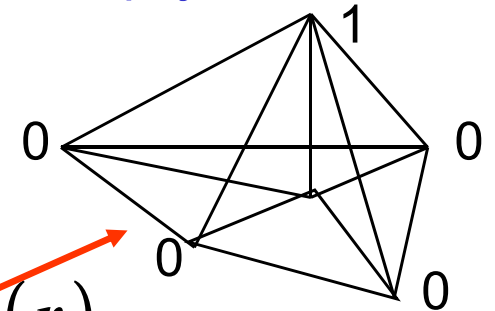
Numerické metody: Metoda konečných prvků

Triangulace Oblast řešení je rozdělena na síť dostatečně malých elementárních oblastí, např. trojúhelníků

Interpolace Aproximativní funkce interpoluje polynomiálně, např. lineárně, hodnoty ve vrcholech sítě

Variační podmínka Gradient této interpolace je po částech spojitý ... je použitelný ve variačním funkcionálu (hledané řešení má přitom spojité druhé derivace)

Konečné prvky S každým vrcholem sítě spojíme jeden „prvek“ podle obrázku. Máme tak rozklad



$$\Phi \xrightarrow[\text{interpolace}]{\text{triangulace}} \Phi_{\text{var}} \xrightarrow[\text{koneč. prvků}]{\text{rozklad do}} \sum_n \Phi(\mathbf{r}_n) \eta_n(\mathbf{r})$$

Lineární rovnice Soustava lineárních rovnic k řešení:

$$\sum_m \underbrace{\int dV \nabla \eta_n \cdot \nabla \eta_m}_{A_{nm}} \times \Phi(\mathbf{r}_m) = 0$$

Matice soustavy je řídká, efektivní metody řešení.

Metoda konečných elementů

Na současných paralelních počítačích řešitelné i rozsáhlé problémy založené na parciálních diferenciálních rovnicích

Překvapivě mnoho lze dosáhnout i na výkonných PC nebo pracovních stanicích

... APLIKOVANÁ FUNKCIONÁLNÍ ANALÝSA

BRNO a metoda FEM ✓ prof. M. Zlámal (1924-1997) a jeho škola na VUT
✓ prof. B. Lencová UPT AV ČR a VUT SPOC

II. Určení průběhu paprsků

Omezíme se nejprve na
osově symetrickou paraxiální oblast.

Tam je všechno plně zvládnuto.
Zobrazení je tam dokonalé.

Paraxiální elektronová optika

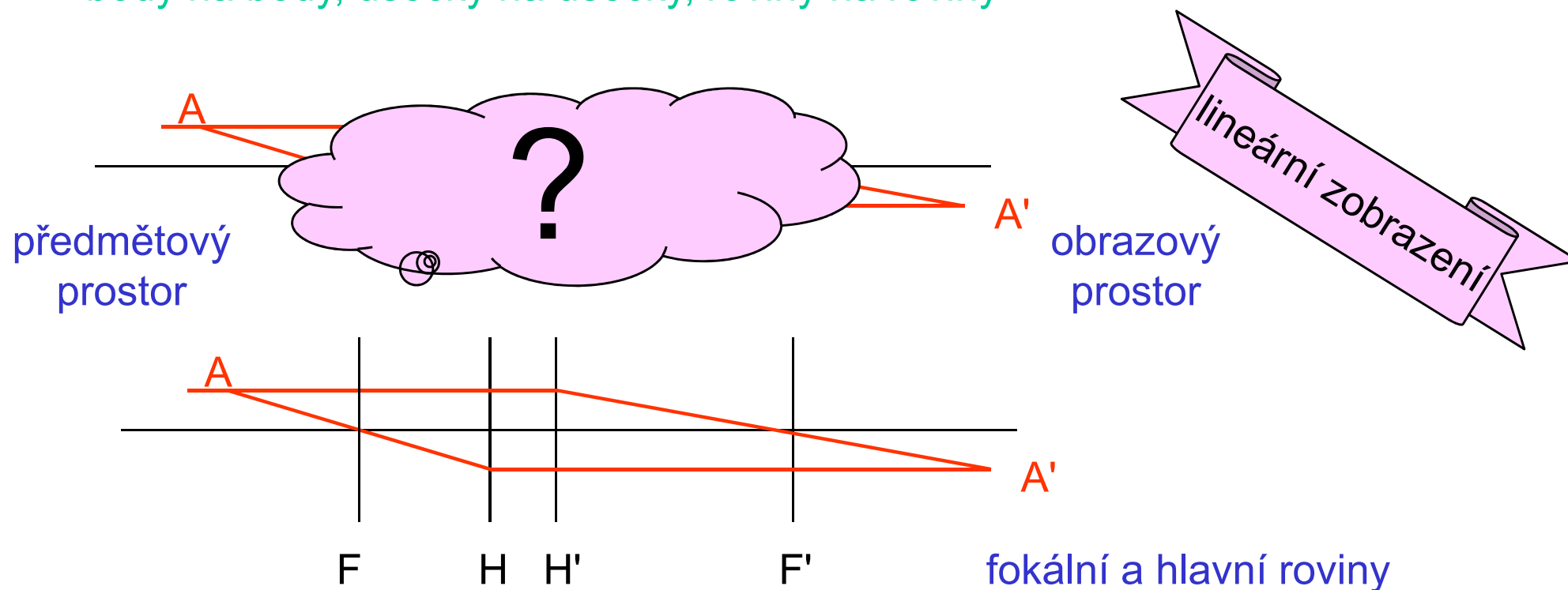
- OSOVĚ SYMETRICKÁ SOUSTAVA ... centovaná

to byla již r. 1931 idea Rusky a Knolla, od té doby rozpracovávaná

- PARAXIÁLNÍ OBLAST

elektronové svazky jen z úzké oblasti kolem optické osy (*nitkový Gaussův prostor*) ... tam dochází k **ideálnímu zobrazování**:

body na body, úsečky na úsečky, roviny na roviny



Paraxiální elektronová optika

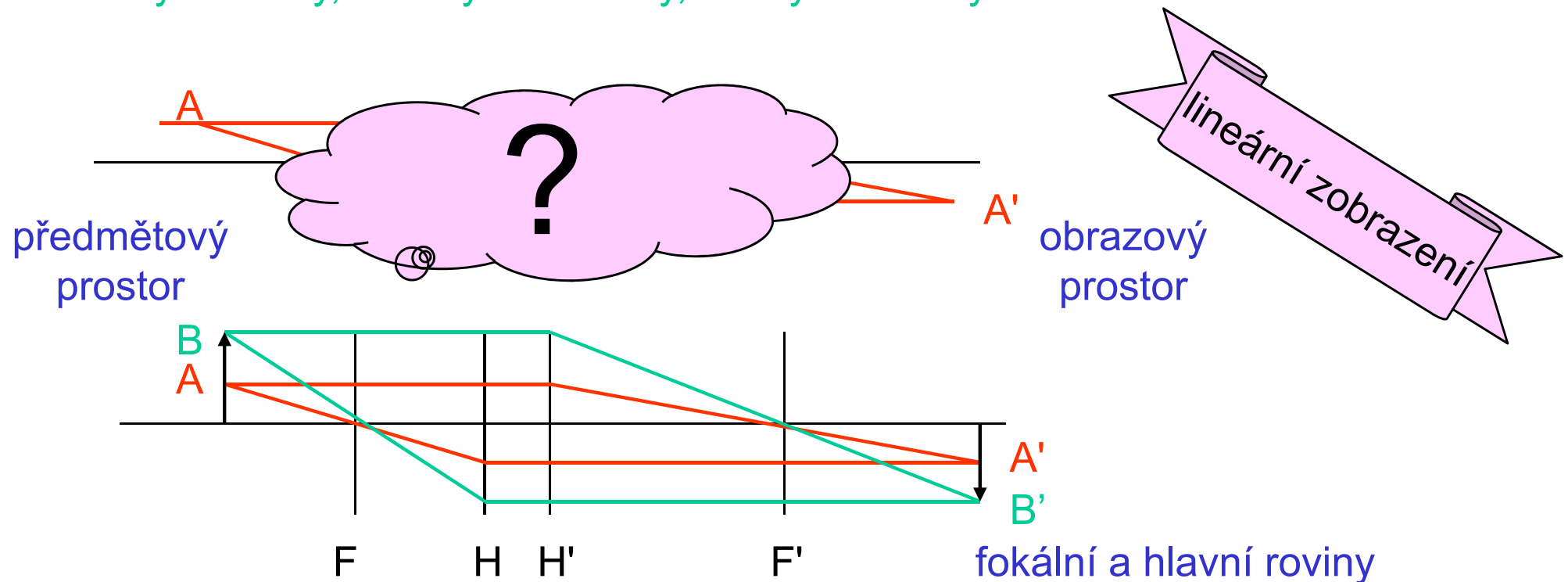
- OSOVĚ SYMETRICKÁ SOUSTAVA ... centovaná

to byla již r. 1931 idea Rusky a Knolla, od té doby rozpracovávaná

- PARAXIÁLNÍ OBLAST

elektronové svazky jen z úzké oblasti kolem optické osy (*nitkový Gaussův prostor*) ... tam dochází k **ideálnímu zobrazování**:

body na body, úsečky na úsečky, roviny na roviny



Realisace paraxiální oblasti

Kolem optické osy mají elektrony volný průchod
prostorem bez nábojů

$$\Delta\Phi(\mathbf{r}) = 0$$

Laplaceova rovnice

tok pláštěm

$$2\pi r d\ell \times E_r$$

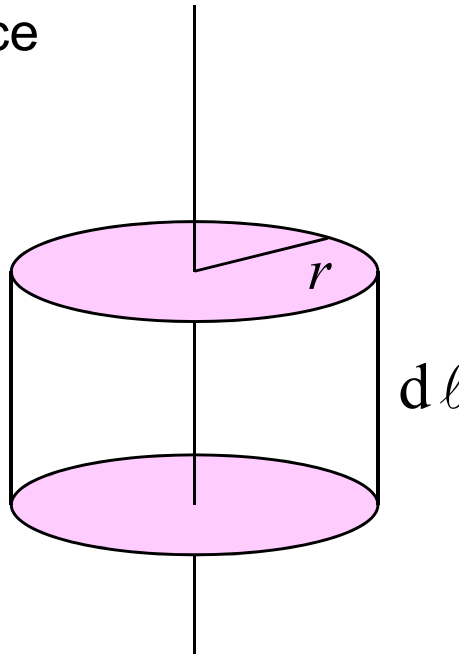


$$\oint d\mathbf{S} \cdot \mathbf{E} = 0$$

Gaussova věta
elektrostatiky

tok podstavami

$$+ \pi r^2 \times \left(E_z + \frac{\partial}{\partial z} E_z \cdot d\ell \right) \\ - \pi r^2 \times E_z$$



Realisace paraxiální oblasti

Kolem optické osy mají elektrony volný průchod
prostorem bez nábojů

$$\Delta\Phi(\mathbf{r}) = 0$$

Laplaceova rovnice

tok pláštěm

$$2\pi r \, d\ell \times E_r$$

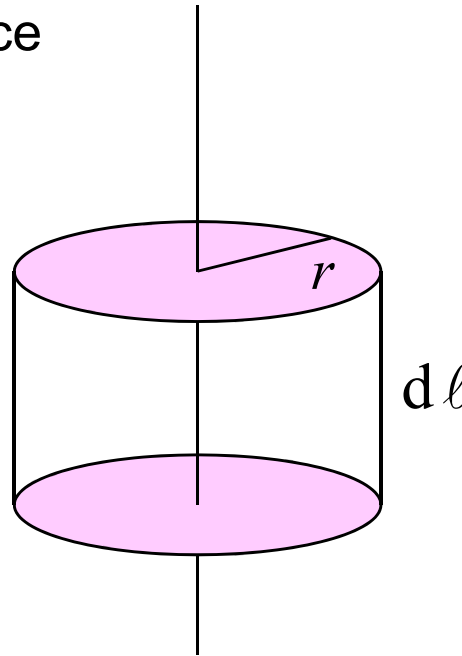


$$\oint d\mathbf{S} \cdot \mathbf{E} = 0$$

Gaussova věta
elektrostatiky

tok podstavami

$$+ \pi r^2 \times \left(E_z + \frac{\partial}{\partial z} E_z \cdot d\ell \right) - \pi r^2 \times E_z$$



$$E_r = -\frac{r}{2} \times \frac{\partial}{\partial z} E_z(0, z)$$

lineární závislost na r
znamená linearitu
zobrazení

Realisace paraxiální oblasti

kolem optické osy mají elektrony
volný průchod

$$\Delta\Phi(\mathbf{r}) = 0$$

Laplace

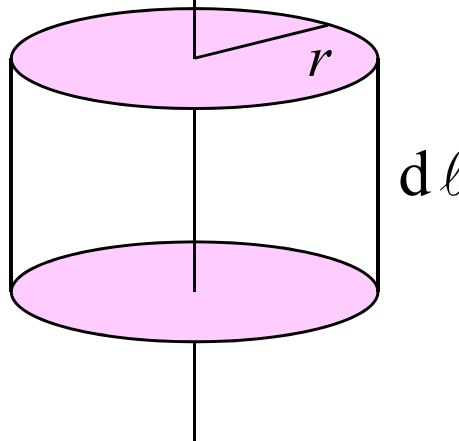


$$\oint d\mathbf{S} \cdot \mathbf{E} = 0$$

Gaussova věta

tok pláštěm

$$2\pi r d\ell \times E_r$$



tok podstavami

$$+ \pi r^2 \times \left(E_z + \frac{\partial}{\partial z} E_z \cdot d\ell \right) - \pi r^2 \times E_z$$

Tato lineární aproximace
vymezuje
paraxiální oblast

$$E_r = -\frac{r}{2} \times \frac{\partial}{\partial z} E_z(0, z)$$

lineární závislost na r
znamená linearitu
zobrazení

Paraxiální paprsková rovnice

① Pohybová rovnice

$$\ddot{\mathbf{r}} = \frac{e}{m} \mathbf{E}$$

② Osová symetrie+
paraxiální aproximace

$$\ddot{z} = \frac{e}{m} E_z(r=0, z(t))$$

$$\ddot{r} = \frac{e}{m} E_r(r(t), z(t))$$

$$\ddot{r} = -\frac{e}{m} \cdot \frac{r}{2} \times \frac{\partial}{\partial z} E_z(0, z)$$

... paraxiálnost
pole bereme na ose!!
lineární aproximace!!

Paraxiální paprsková rovnice

1 Pohybová rovnice

$$\ddot{\mathbf{r}} = \frac{e}{m} \mathbf{E}$$

2 Osová symetrie+
paraxiální aproximace

$$\ddot{z} = \frac{e}{m} E_z(r=0, z(t))$$

$$\ddot{r} = \frac{e}{m} E_r(r(t), z(t))$$

... paraxiálnost
pole bereme na ose!!
lineární aproximace!!

3 Od trajektorie k paprsku

$$\ddot{r} = -\frac{e}{m} \cdot \frac{r}{2} \times \frac{\partial}{\partial z} E_z(0, z)$$

$$\frac{d}{dt} = \frac{d}{dz} \cdot \frac{dz}{dt} \equiv v(z) \cdot (\dots)' \longrightarrow v(z) \cdot \frac{d}{dz} \left(v(z) \cdot \frac{dr}{dz} \right) + \frac{e}{m} \cdot \frac{r}{2} \times E'_z(0, z) = 0$$

Paraxiální paprsková rovnice

1 Pohybová rovnice

$$\ddot{\mathbf{r}} = \frac{e}{m} \mathbf{E}$$

2 Osová symetrie+
paraxiální aproximace

$$\ddot{z} = \frac{e}{m} E_z(r=0, z(t))$$

$$\ddot{r} = \frac{e}{m} E_r(r(t), z(t))$$

... paraxiálnost
pole bereme na ose!!
lineární aproximace!!

3 Od trajektorie k paprsku

$$\ddot{r} = -\frac{e}{m} \cdot \frac{r}{2} \times \frac{\partial}{\partial z} E_z(0, z)$$

$$\frac{d}{dt} = \frac{d}{dz} \cdot \frac{dz}{dt} \equiv v(z) \cdot (\dots)' \longrightarrow v(z) \cdot \frac{d}{dz} \left(v(z) \cdot \frac{dr}{dz} \right) + \frac{e}{m} \cdot \frac{r}{2} \times E'_z(0, z) = 0$$

4 Potenciál ke katodě

$$n(\mathbf{r}) \propto v(\mathbf{r}) = \sqrt{\frac{2}{m} (E - U(\mathbf{r}))}$$

$$\equiv \sqrt{-\frac{2e}{m} \Phi(\mathbf{r})}$$

$$\Phi \cdot r'' + \frac{1}{2} \Phi' \cdot r' + \frac{1}{4} \Phi'' \cdot r = 0$$

vstup $\Phi(z) \longrightarrow r(z)$ výstup

PARAXIÁLNÍ ROVNICE

Paraxiální rovnice: vlastnosti paraxiálního zobrazení

PARAXIÁLNÍ ROVNICE

$$\Phi \cdot r'' + \frac{1}{2} \Phi' \cdot r' + \frac{1}{4} \Phi'' \cdot r = 0$$

vstup $\Phi(z)$ \longrightarrow $r(z)$ výstup

Paraxiální rovnice: vlastnosti paraxiálního zobrazení

PARAXIÁLNÍ ROVNICE

$$\Phi \cdot r'' + \frac{1}{2} \Phi' \cdot r' + \frac{1}{4} \Phi'' \cdot r = 0$$

vstup $\Phi(z)$ \longrightarrow $r(z)$ výstup

Tvar trajektorie v elektrostatické čočce
nezávisí
na náboji ani hmotnosti částice
vlnová délka, energie atp. je ovšem něco jiného

Paraxiální rovnice: vlastnosti paraxiálního zobrazení

PARAXIÁLNÍ ROVNICE

$$\Phi \cdot r'' + \frac{1}{2} \Phi' \cdot r' + \frac{1}{4} \Phi'' \cdot r = 0$$

$$\boxed{\text{vstup}} \quad \Phi(z) \quad \longrightarrow \quad r(z) \quad \boxed{\text{výstup}}$$

SROVNÁNÍ OPTICKÝCH SOUSTAV

elektronová

- spojitý index lomu
- určující: pouze průběh indexu lomu na ose. Flexibilita v průběhu elast. polí je tak jen zdánlivá výhoda, pokud ...

světelná

- po částech konstantní index lomu
- hodnoty indexu lomu a poloměry křivosti oddělujících optických ploch nezávisle volitelné parametry

Paraxiální rovnice: vlastnosti paraxiálního zobrazení

PARAXIÁLNÍ ROVNICE

$$\Phi \cdot r'' + \frac{1}{2} \Phi' \cdot r' + \frac{1}{4} \Phi'' \cdot r = 0$$

$$\boxed{\text{vstup}} \quad \Phi(z) \quad \longrightarrow \quad r(z) \quad \boxed{\text{výstup}}$$

SROVNÁNÍ OPTICKÝCH SOUSTAV

elektronová

- spojitý index lomu
- určující: pouze průběh indexu lomu na ose. Flexibilita v průběhu elst. polí je tak jen zdánlivá výhoda, pokud ... nepřekonáme Gaussovu větu elst.

světelná

- po částech konstantní index lomu
- hodnoty indexu lomu a poloměry křivosti oddělujících optických ploch nezávisle volitelné parametry

Paraxiální rovnice: vlastnosti paraxiálního zobrazení

PARAXIÁLNÍ ROVNICE

$$\Phi \cdot r'' + \frac{1}{2} \Phi' \cdot r' + \frac{1}{4} \Phi'' \cdot r = 0$$

$$\boxed{\text{vstup}} \quad \Phi(z) \quad \longrightarrow \quad r(z) \quad \boxed{\text{výstup}}$$

SROVNÁNÍ OPTICKÝCH SOUSTAV

elektronová

- spojitý index lomu
- určující: pouze průběh indexu lomu na ose. Flexibilita v průběhu elst. polí je tak jen zdánlivá výhoda, pokud ...
nepřekonáme Gaussovu větu elst.

světelná

- po částech konstantní index lomu
- hodnoty indexu lomu a poloměry křivosti oddělujících optických ploch nezávisle volitelné parametry

Paraxiální rovnice: vlastnosti paraxiálního zobrazení

PARAXIÁLNÍ ROVNICE

$$\Phi \cdot r'' + \frac{1}{2} \Phi' \cdot r' + \frac{1}{4} \Phi'' \cdot r = 0$$

$$\boxed{\text{vstup}} \quad \Phi(z) \quad \longrightarrow \quad r(z) \quad \boxed{\text{výstup}}$$

SROVNÁNÍ OPTICKÝCH SOUSTAV

elektronová

- spojitý index lomu
- určující: pouze průběh indexu lomu na ose. Flexibilita v průběhu elst. polí je tak jen zdánlivá výhoda, pokud ... nepřekonáme **Gaussovou větu elst.**

Dva důsledky

1. elektronové čočky jsou vždy spojky
2. otvorová vada vždy kladná

světelná

- po částech konstantní index lomu
- hodnoty indexu lomu a poloměry křivosti oddělujících optických ploch nezávisle volitelné parametry

Elektronové čočky jsou vždy spojky

Substituce v paraxiální rovnici

$$r = R\Phi^{-\frac{1}{4}}$$

$$R'' = -\frac{3}{16} \left(\frac{\Phi'}{\Phi} \right)^2 R$$

$$|e\Phi(\mathbf{r})| = E - U(\mathbf{r})$$

1. R je konkávní, obrací se vždy **k ose** \Rightarrow

libovolný systém, kde pole Φ' je nenulové jen v konečné oblasti se chová jako spojka

2. Optická mohutnost závisí jen na poměru Φ'/Φ

3. Pro rychlé elektrony je proto malá

Elektronové čočky jsou vždy spojky

Substituce v paraxiální rovnici

$$r = R\Phi^{-\frac{1}{4}}$$

$$R'' = -\frac{3}{16}\left(\frac{\Phi'}{\Phi}\right)^2 R$$

$$|e\Phi(\mathbf{r})| = E - U(\mathbf{r})$$

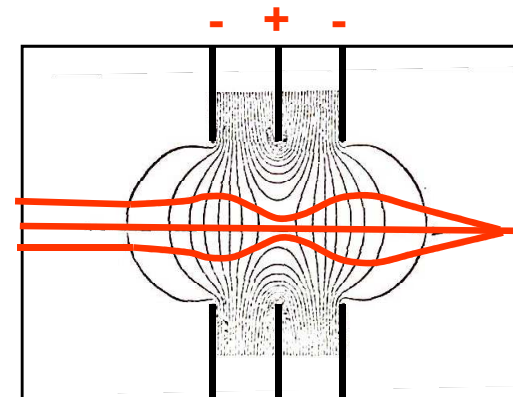
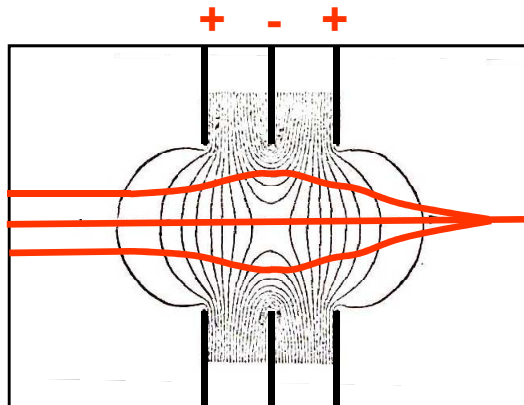
1. R je konkávní, obrací se vždy **k ose** \Rightarrow

libovolný systém, kde pole Φ' je nenulové jen v konečné oblasti se chová jako spojka

2. Optická mohutnost závisí jen na poměru Φ'/Φ

3. Pro rychlé elektrony je proto malá

4. Ve skutečnosti závisí na $(\Phi'/\Phi)^2$. R je proto stejné pro obojí polaritu. Samotné trajektorie jsou ovšem různé; ohnisko však zůstává.

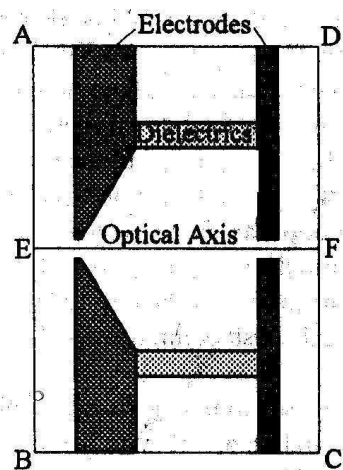


Ukázky skutečných výpočtů

Kvalita současného zpracování je plně profesionální.

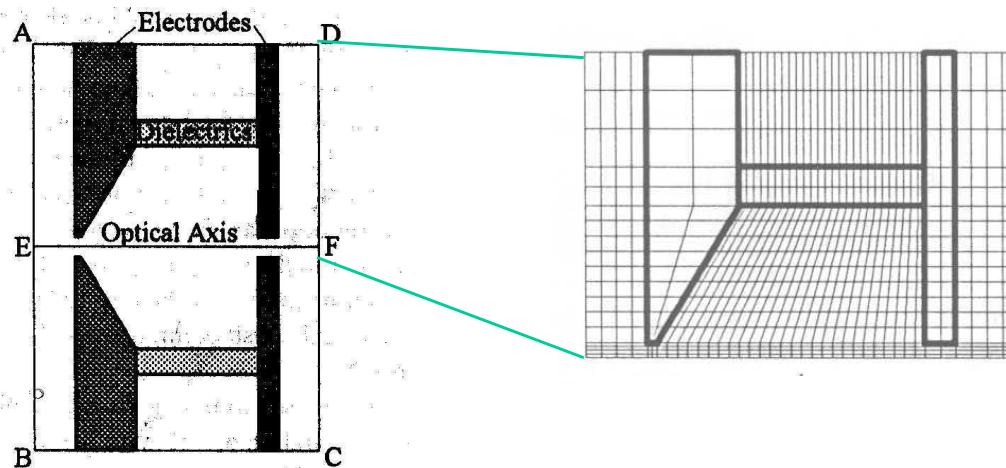
Výpočty tohoto typu zrychlují o řády konstrukční práce.

Ukázka výpočtu elektrostatické čočky



design čočky

Ukázka výpočtu elektrostatické čočky

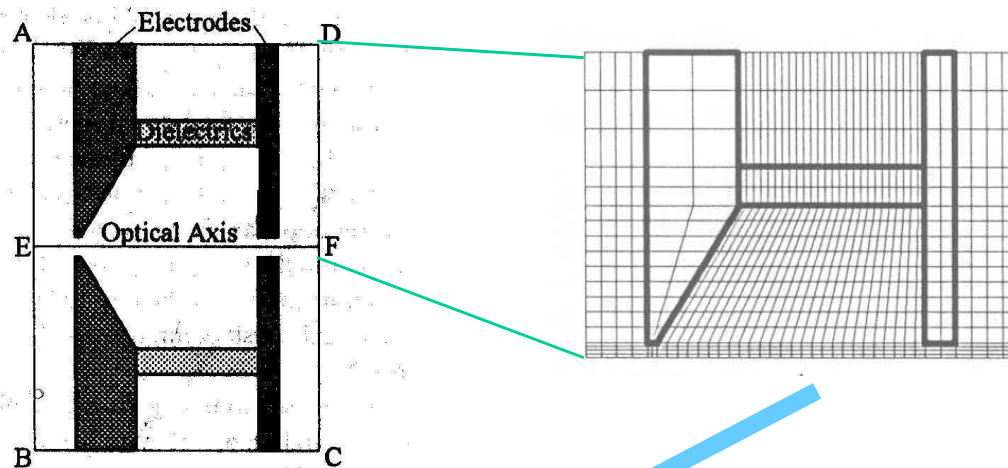


design čočky

grid pro výpočet metodou
konečných elementů:

velké oblasti,
jemné dělení

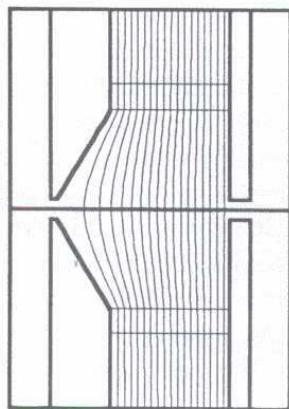
Ukázka výpočtu elektrostatické čočky



design čočky

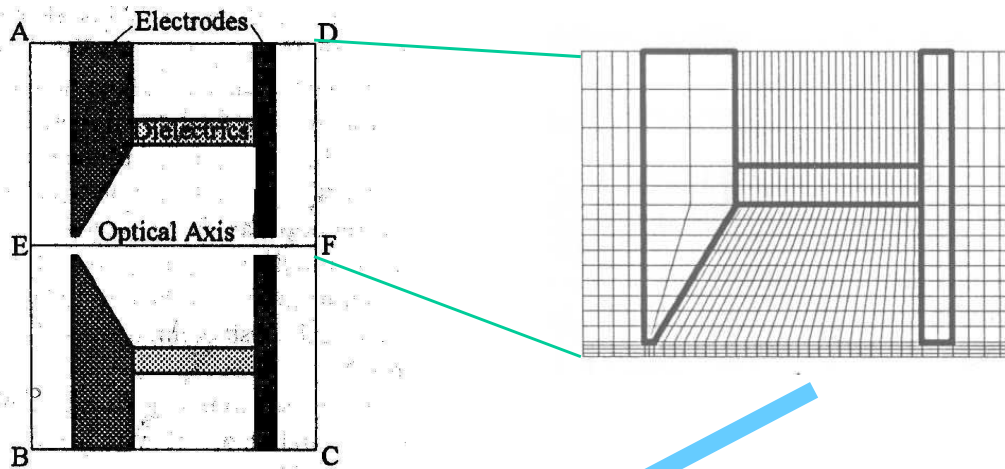
grid pro výpočet metodou
konečných elementů:
velké oblasti,
jemné dělení

výsledný
potenciál



a

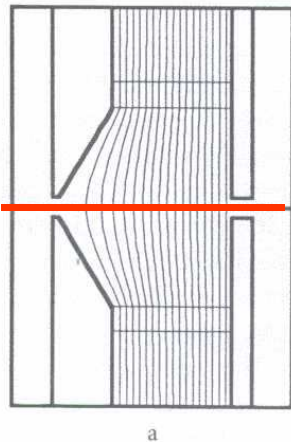
Ukázka výpočtu elektrostatické čočky



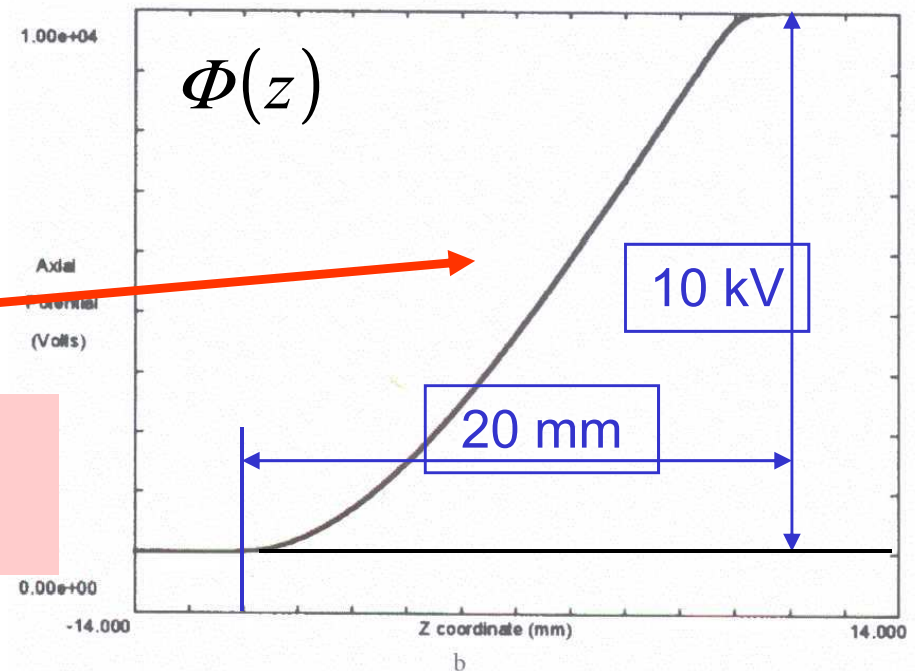
grid pro výpočet metodou konečných elementů:
velké oblasti,
jemné dělení

design čočky

výsledný potenciál

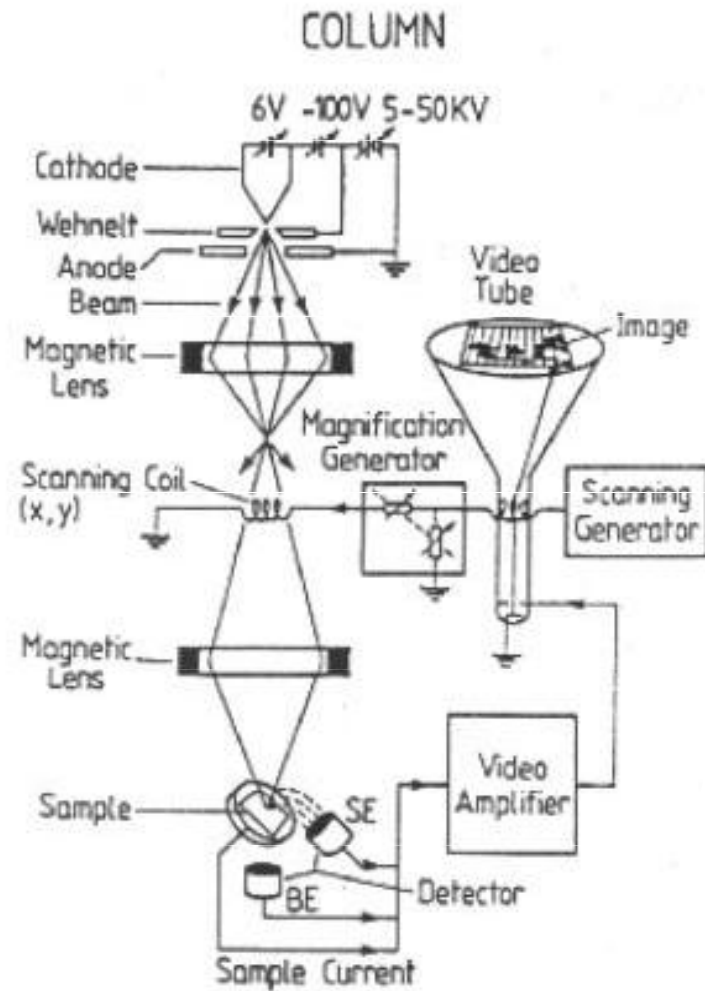


axiální průběh
potenciálu



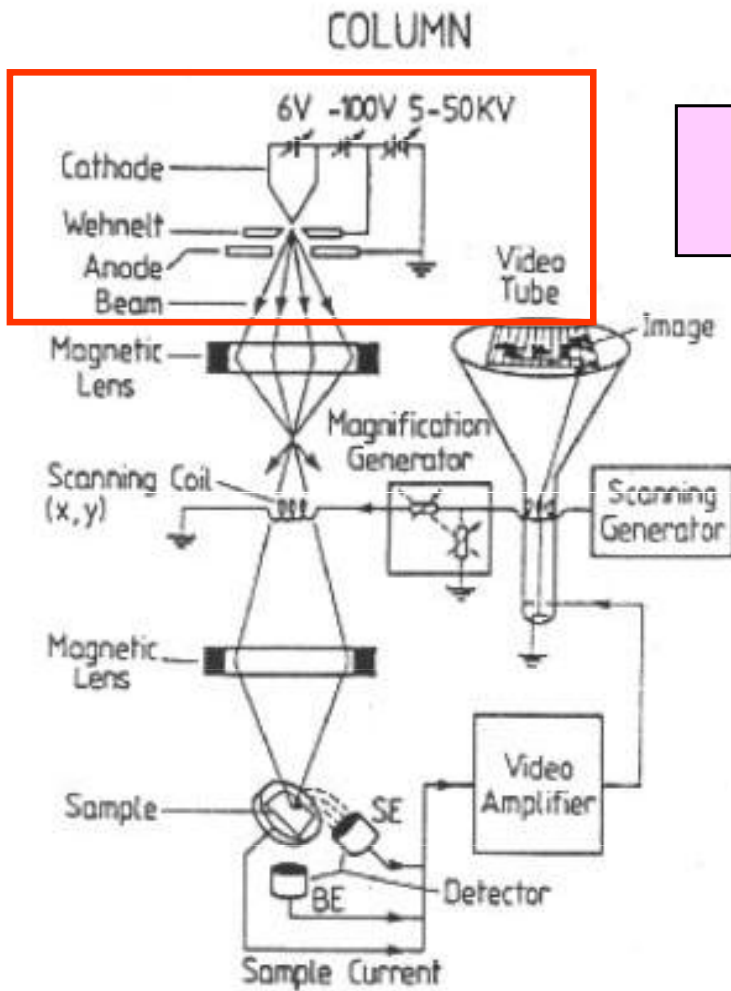
Termoemisní zdroj LaB_6

řádkovací elektronový mikroskop
(SEM .. scanning electron microscope)



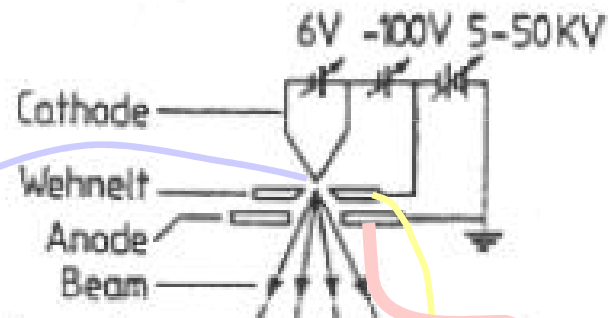
Termoemisní zdroj LaB_6

řádkovací elektronový mikroskop
(SEM .. scanning electron microscope)

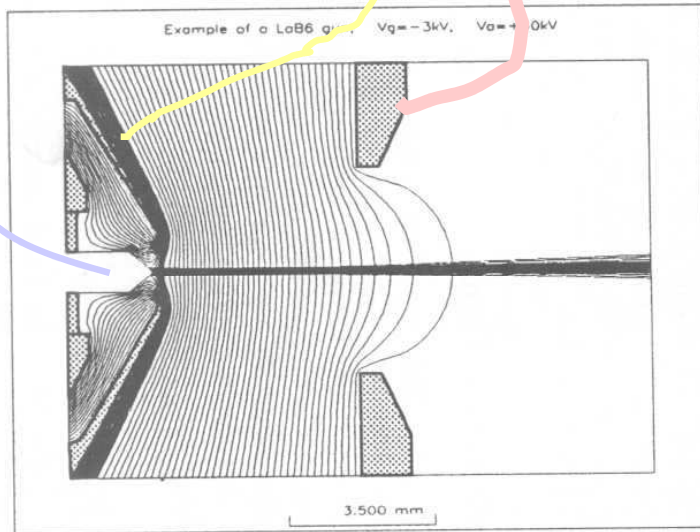


výsek ze schematu SEM

Termoemisní zdroj LaB_6



výsek ze schematu SEM



a

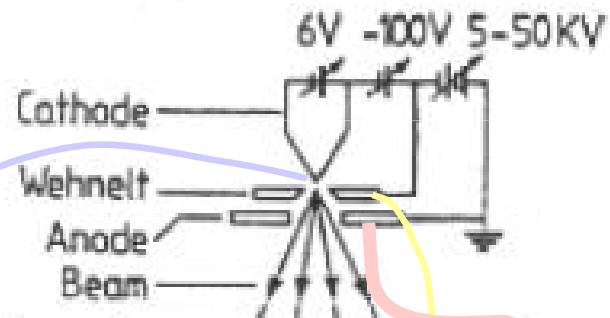
FIGURE 73 LaB_6 gun. (a) Overall view. (b) Enlarg

Monokrystal LaB_6
("Lab six")

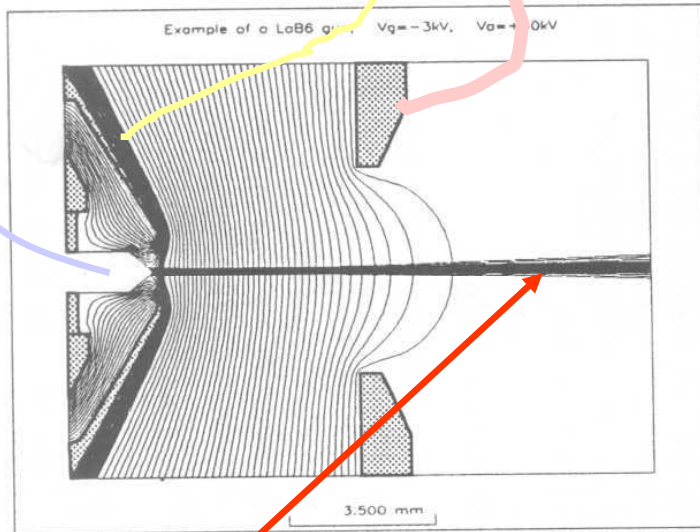
zespodu ohříváný žhaveným
wolframovým vláknem

jeho emisní schopnost je
tisíckrát vyšší
než má wolfram sám

Termoemisní zdroj LaB_6



výsek ze schematu SEM

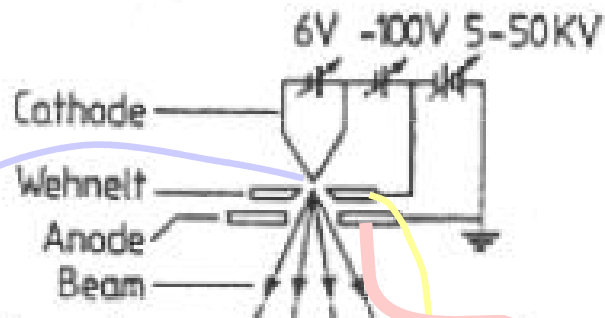


a

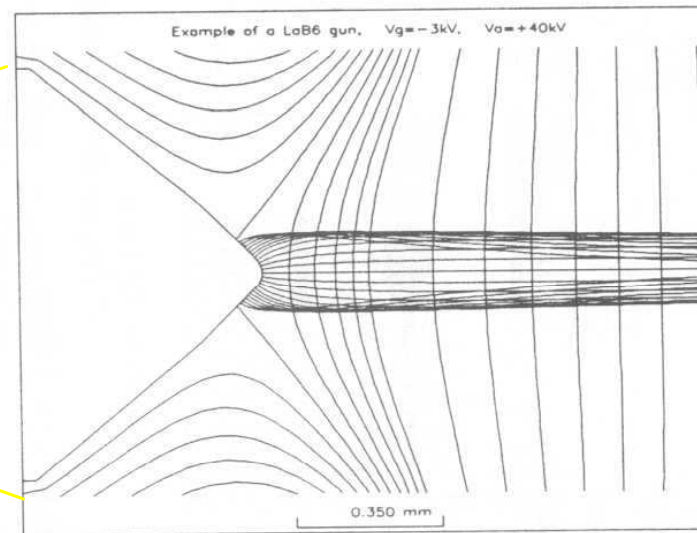
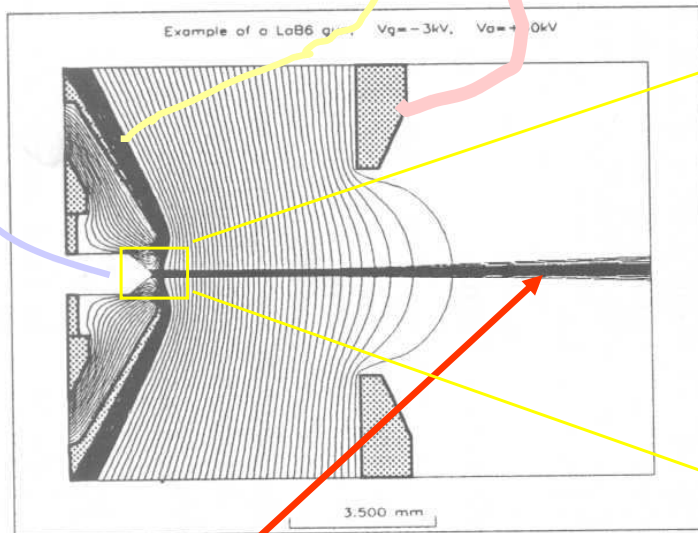
FIGURE 73 LaB_6 gun. (a) Overall view. (b) Enlarged view of tip region.

trajektorie

Termoemisní zdroj LaB_6



výsek ze schematu SEM



a

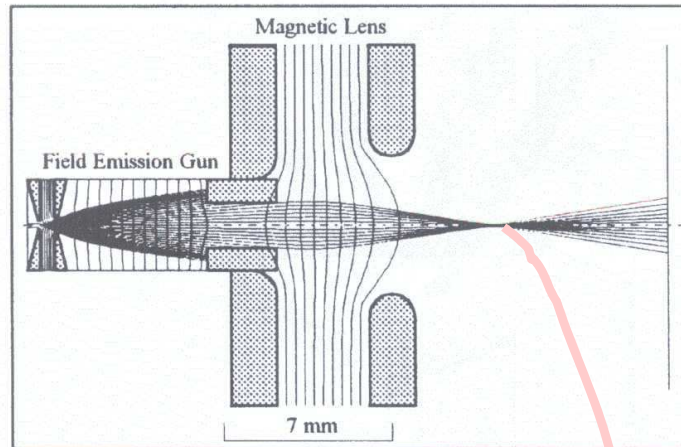
FIGURE 73 LaB_6 gun. (a) Overall view

detail

trajektorie

TFE zdroj

TFE (thermofield emission) kombinuje termickou emisi ... $T=1800\text{ K}$
se studenou emisí vyvolanou polem řádu 10 keV



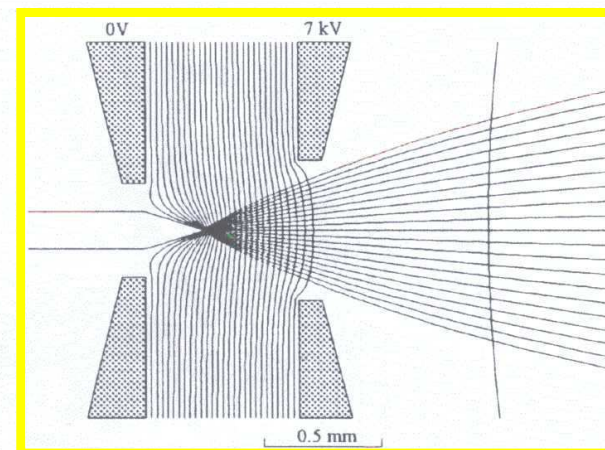
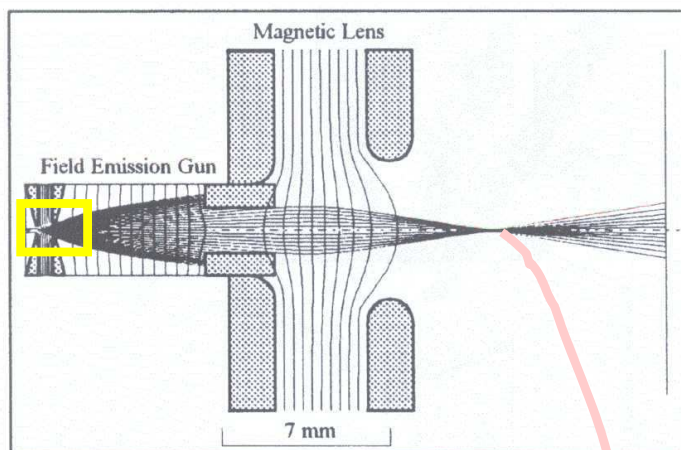
kombinace elst. zdroje a
magnetické čočky

a magnetic lens.

toto je téměř bodový zdroj
kolimovaných elektronů

TFE zdroj

TFE (thermofield emission) kombinuje termickou emisi ... $T=1800\text{ K}$
se studenou emisí vyvolanou polem řádu 10 keV



kombinace elst. zdroje a
magnetické čočky

detail

toto je téměř bodový zdroj
kolimovaných elektronů

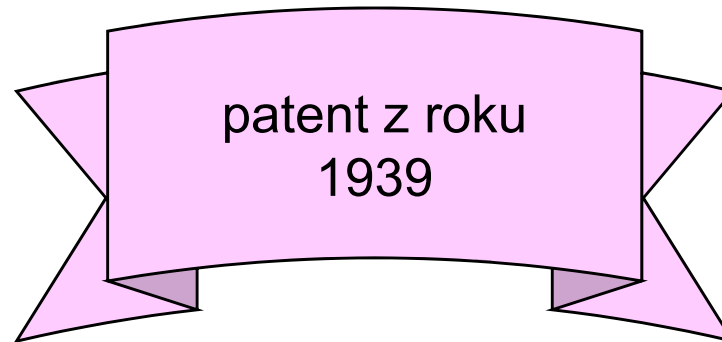
Magnetické čočky

Magnetické čočky a jiné součásti převládají v
praxi.

Jejich pochopení je ale obtížnější.
Zde jen několik poznámek.

Magnetická čočka

- má širší použití, než elektrostatická
- přesnější konstrukce, lepší korekce optických vad
- musí se ovšem chladit, atd.
- hlavní výhoda je možnost pólových nástavců z měkkých magnetických materiálů
- to právě vymysleli již praotcové Ruska a Knoll ... *Ernst Ruska* NP 1986



Magnetická čočka

DEUTSCHES REICH



AUSGEGEBEN AM
25. AUGUST 1939

REICHSPATENTAMT
PATENTSCHRIFT

№ 680 284

KLASSE 21g GRUPPE 25 37/20

B 154916 VIII c/21 g

Dr.-Ing. Bodo von Borries in Berlin-Halensee
und Dr.-Ing. Ernst Ruska in Berlin-Zehlendorf
Magnetische Sammellinse kurzer Feldlänge

Patentiert im Deutschen Reiche vom 17. März 1932 ab
Patenterteilung bekanntgemacht am 3. August 1939

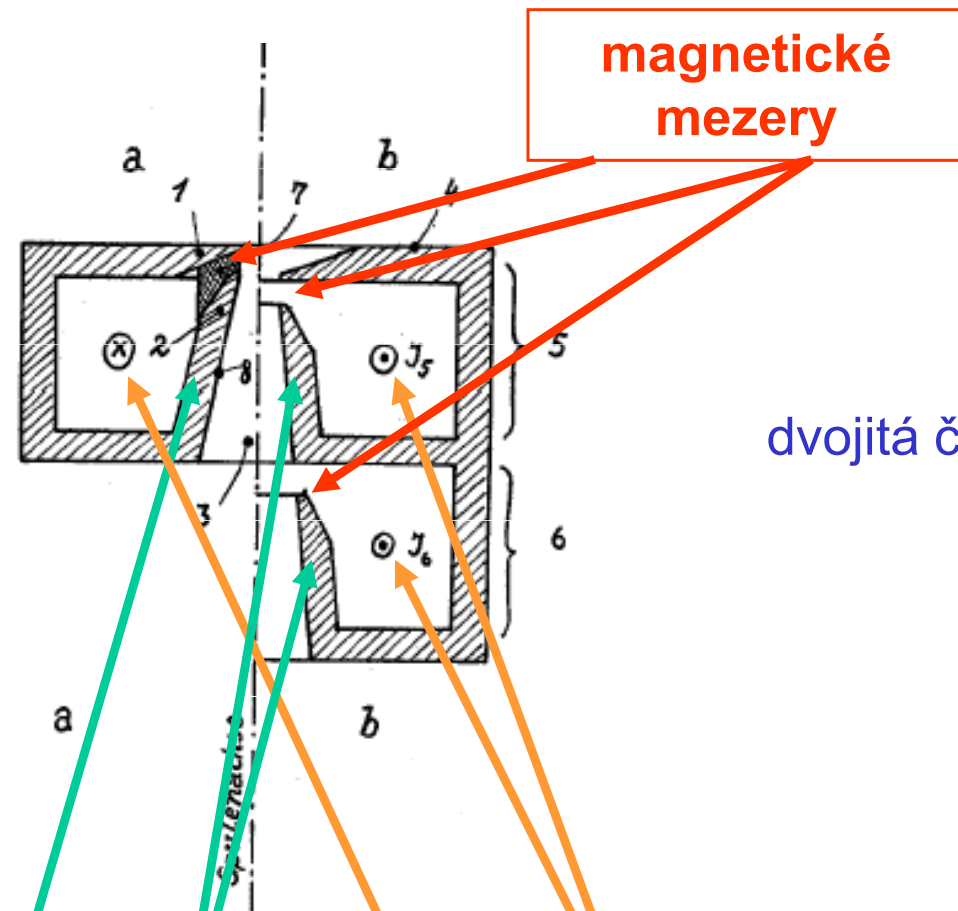
Magnetická čočka

Der Erfindung liegt die Aufgabe zugrunde, eine magnetische Linse extrem kurzer Brennweite zu schaffen, deren Feld trotz seiner Stärke (kleine Brennweite) dennoch in axialer Richtung so kurz wie möglich ist. Diese Aufgabe wird mit Hilfe einer Sammellinse gelöst, die aus einer Sammelspule besteht, die in einen sie vollständig umgebenden, aus hochpermeablem Stoff bestehenden Mantel eingehüllt ist, der einen ringförmigen Spalt in seinem Innenteil aufweist. Gemäß der Erfindung sind die die Ränder des im Verhältnis zur Längsausdehnung der Spule schmalen Spaltes bildenden Mantelteile nach der Achse zu polschuhartig verjüngt, und die lichte Weite des Polschuhringes liegt in der Größenordnung der Spalthöhe. Es ist zweckmäßig, die Spalthöhe nahezu gleich dem Halbmesser der lichten Weite der Polschuhringe zu machen.

Vynález se zakládá na úloze vytvořit magnetickou čočku s extrémně krátkou ohniskovou vzdáleností, jejíž pole přes svou intenzitu (krátkou ohniskovou vzdálenost) je v axiálním směru co možno nejkratší.

Magnetická čočka (Ruskýv náčrtek)

jednoduchá
čočka



dvojitá čočka

pólové
nástavce

cívky

Magnetická čočka: jak funguje

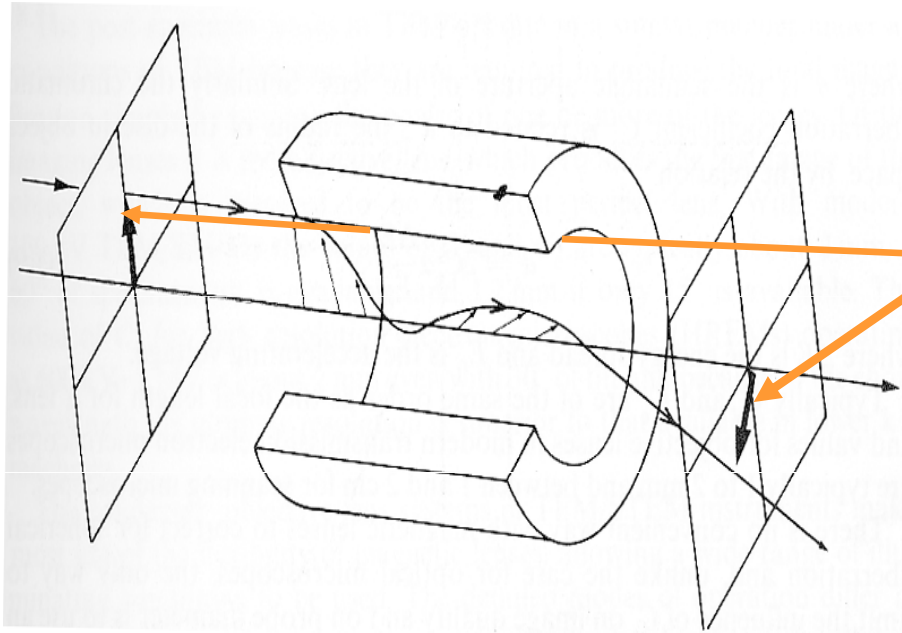
$$\operatorname{div} \mathbf{B} = 0 \Leftrightarrow B_r = -\frac{r}{2} \cdot \frac{\partial B_z}{\partial z} = -\frac{r}{2} \cdot B'_z$$

paraxiální oblast

Magnetická čočka: jak funguje

$$\operatorname{div} \mathbf{B} = 0 \Leftrightarrow B_r = -\frac{r}{2} \cdot \frac{\partial B_z}{\partial z} = -\frac{r}{2} \cdot B'_z$$

paraxiální oblast



paprsek v paraxiální oblasti

- rovina pohybu se otáčí
nezávisle na průvodiči r

$$\dot{\phi} = \frac{e}{2m} B_z(z)$$

Magnetická čočka: jak funguje

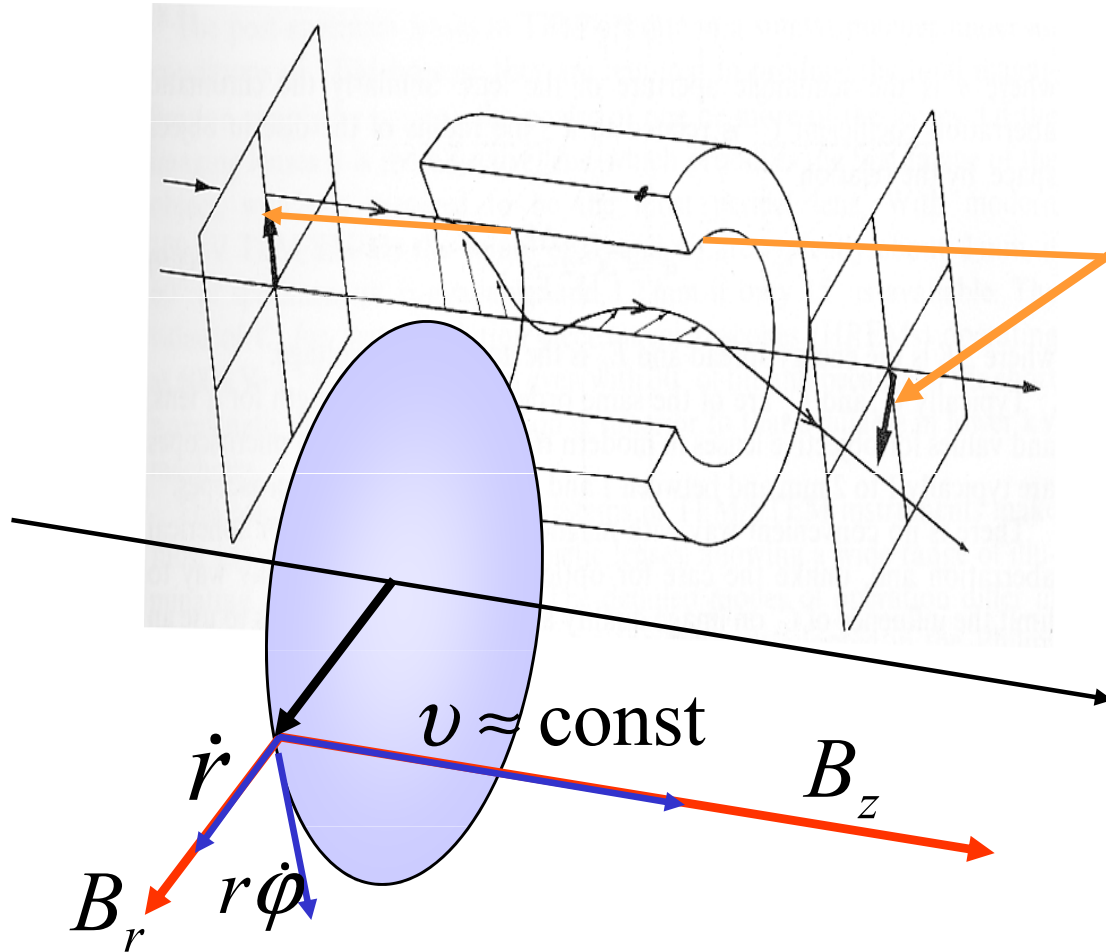
$$\operatorname{div} \mathbf{B} = 0 \Leftrightarrow B_r = -\frac{r}{2} \cdot \frac{\partial B_z}{\partial z} = -\frac{r}{2} \cdot B'_z$$

paraxiální oblast

paprsek v paraxiální oblasti

- rovina pohybu se otáčí
nezávisle na průvodiči r

$$\dot{\phi} = \frac{e}{2m} B_z(z)$$



Magnetická čočka: jak funguje

$$\operatorname{div} \mathbf{B} = 0 \Leftrightarrow B_r = -\frac{r}{2} \cdot \frac{\partial B_z}{\partial z} = -\frac{r}{2} \cdot B'_z$$

paraxiální oblast

paprsek v paraxiální oblasti

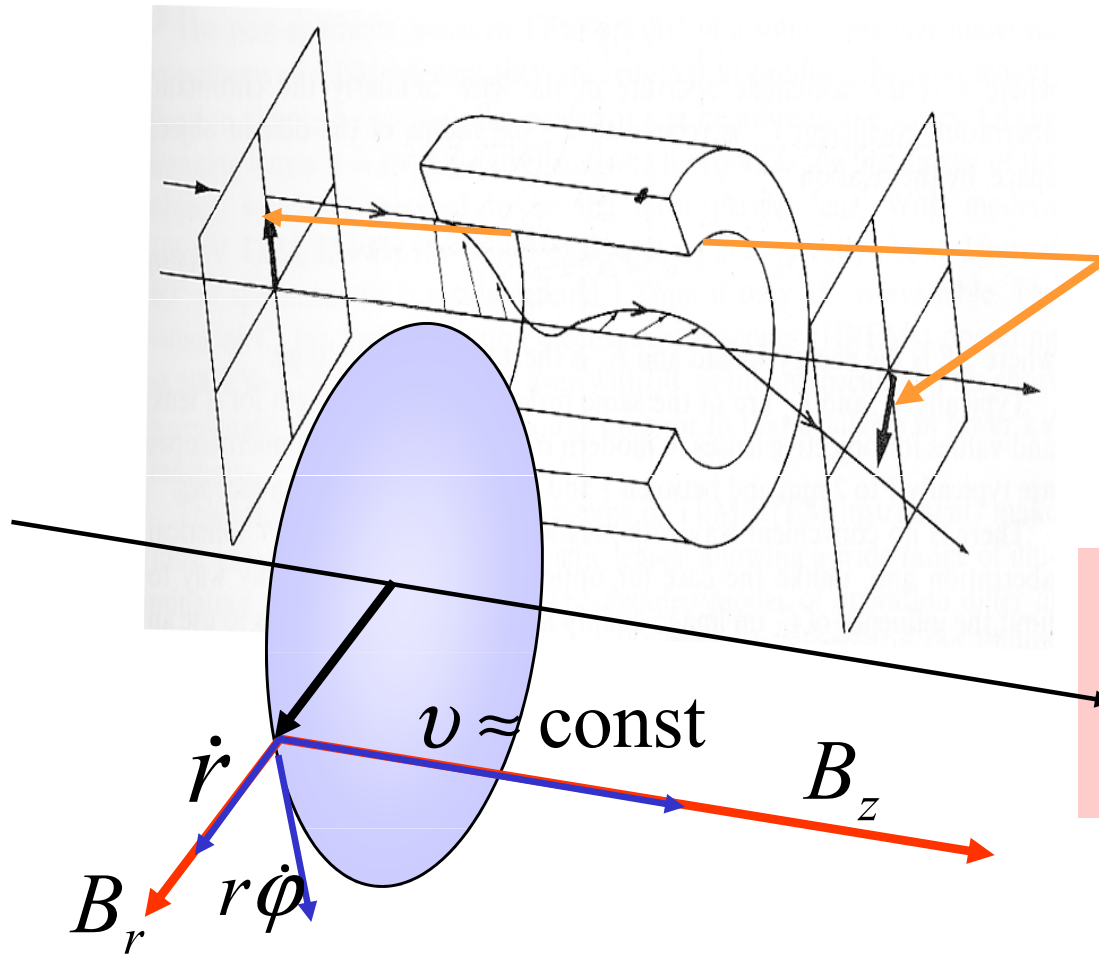
- rovina pohybu se otáčí nezávisle na průvodiči r

$$\dot{\phi} = \frac{e}{2m} B_z(z)$$

- to ovlivní radiální pohyb

$$r'' + \left(\frac{e}{2m} \cdot \frac{B_z(z)}{v(z)} \right)^2 \times r = 0$$

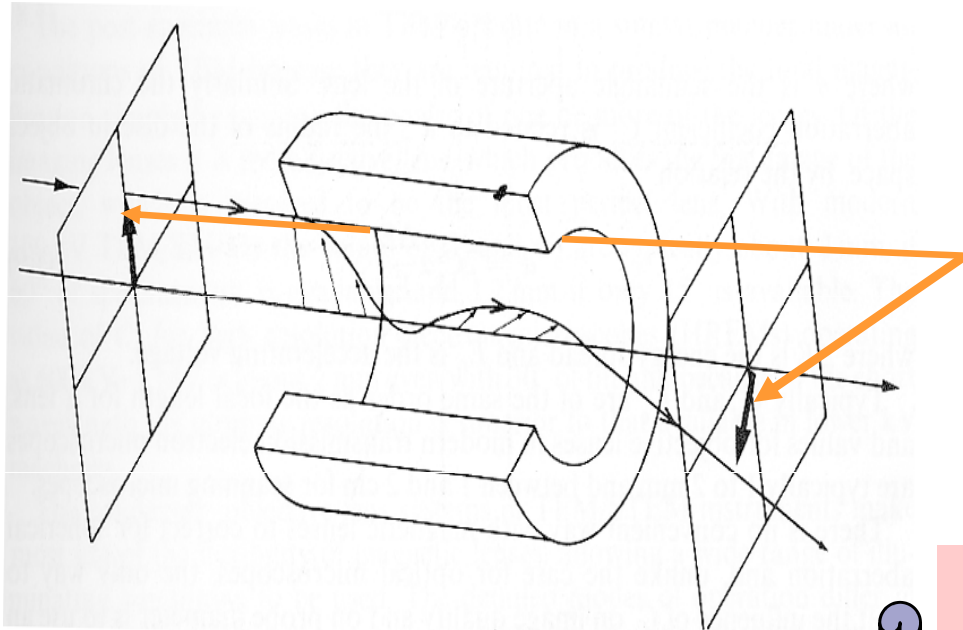
PARAXIÁLNÍ ROVNICE PAPRSKU



Magnetická čočka: jak funguje

$$\operatorname{div} \mathbf{B} = 0 \Leftrightarrow B_r = -\frac{r}{2} \cdot \frac{\partial B_z}{\partial z} = -\frac{r}{2} \cdot B'_z$$

paraxiální oblast



paprsek v paraxiální oblasti

- rovina pohybu se otáčí
nezávisle na průvodiči r

$$\dot{\varphi} = \frac{e}{2m} B_z(z)$$

- to ovlivní radiální pohyb

$$r'' + \left(\frac{e}{2m} \cdot \frac{B_z(z)}{v(z)} \right)^2 \times r = 0$$

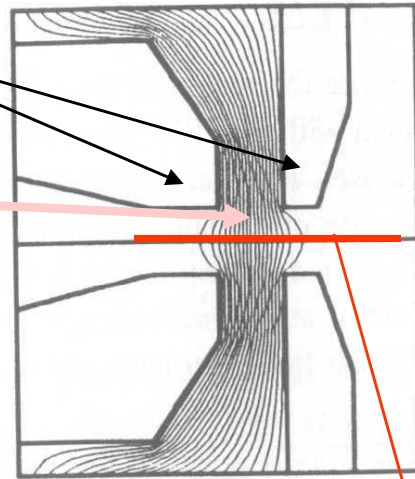
PARAXIÁLNÍ ROVNICE PAPRSKU

- I v magn. čočce vždy dochází k fokusaci
- Rozhoduje jen osový průběh podélné složky pole
- Pro rychlé elektrony je lámavá síla menší
- Obrazový prostor se potočí jako celek, věrnost zobrazení není narušena

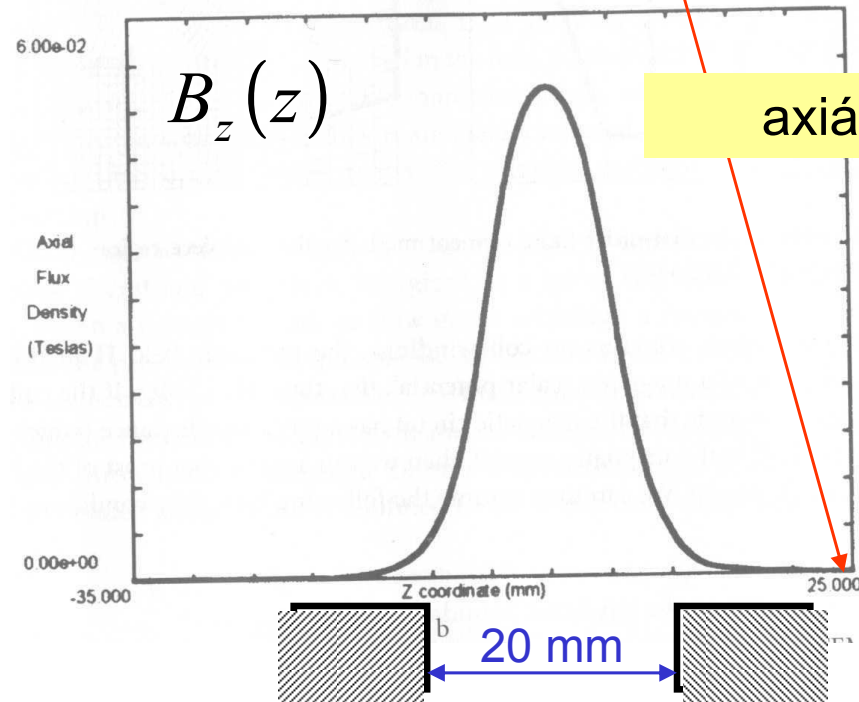
Moderní magnetická čočka

nástavce

pole v dutině



a



Mez rozlišení pro elektronový mikroskop

... také
elektronový mikroskop strádá
vadami optického zobrazení, dokonce
hůře, než světelné přístroje

Vady zobrazení elektronové čočky

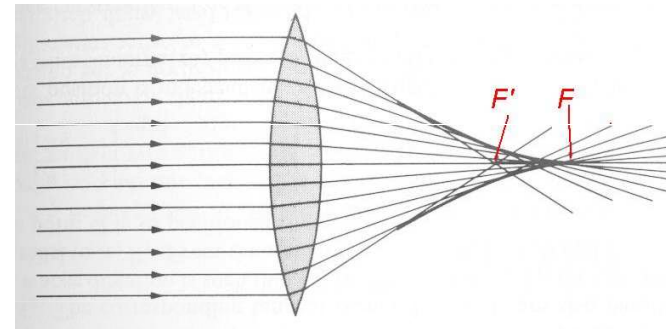
- Elektronová optika ... tytéž vady zobrazení, jako světelná **astigmatismus, koma ...**
- V oblasti obklopující paraxiální (malé úhly s osou) hlavně

vada chromatická

vada sférická (otvorová)

Podstata rychlejší elektrony se zalomí méně ... analogie červeného světla

Podstata paprsky dále od osy se zalomí více ... vzniká kaustická plocha



Vady zobrazení elektronové čočky: chromatická vada

- Elektronová optika ... tytéž vady zobrazení, jako světelná **astigmatismus, koma ...**
- V oblasti obklopující paraxiální (malé úhly s osou) hlavně

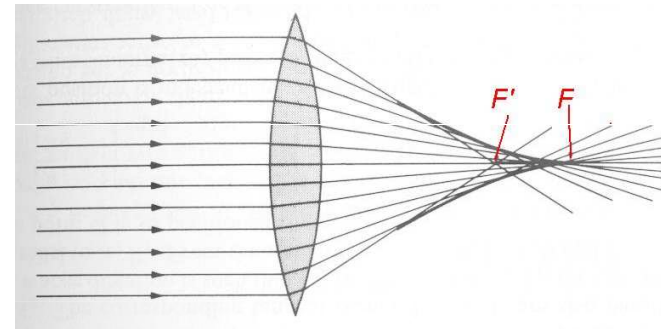
vada chromatická

vada sférická (otvorová)

Podstata rychlejší elektrony se zalomí méně ... analogie červeného světla

Odpomoc kvalitní monochromatický zdroj elektronů ... studená emise

Podstata paprsky dále od osy se zalomí více ... vzniká kaustická plocha



Vady zobrazení elektronové čočky: otvorová vada

- Elektronová optika ... tytéž vady zobrazení, jako světelná **astigmatismus, koma ...**
- V oblasti obklopující paraxiální (malé úhly s osou) hlavně

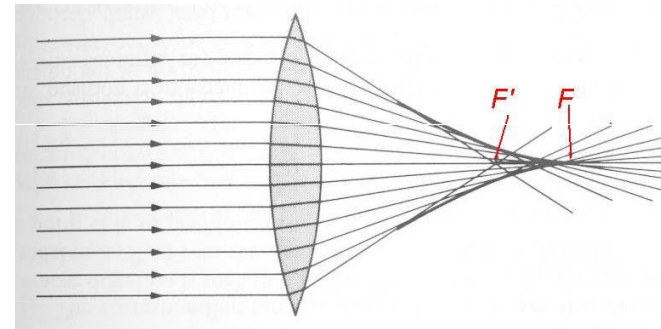
vada chromatická

vada sférická (otvorová)

Podstata rychlejší elektrony se zalomí méně ... analogie červeného světla

Podstata paprsky dále od osy se zalomí více ... vzniká kaustická plocha

Odpomoc kvalitní monochromatický zdroj elektronů ... studená emise



Otvorová vada v elektronové optice je **neodstranitelná**

viník:

Gaussova věta elektrostatiky, nedovolí korekce indexu lomu

Vady zobrazení elektronové čočky: otvorová vada

- Elektronová optika ... tytéž vady zobrazení, jako světelná **astigmatismus, koma ...**
- V oblasti obklopující paraxiální (malé úhly s osou) hlavně

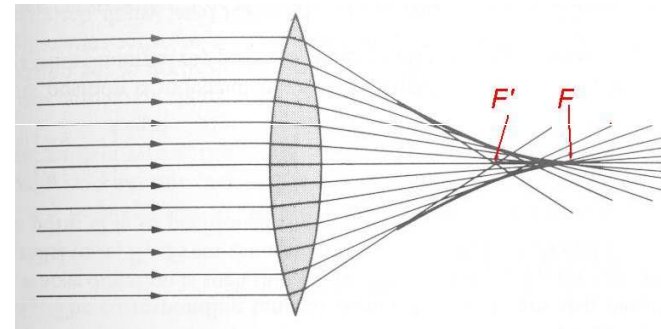
vada chromatická

vada sférická (otvorová)

Podstata rychlejší elektrony se zalomí méně ... analogie červeného světla

Odpomoc kvalitní monochromatický zdroj elektronů ... studená emise

Podstata paprsky dále od osy se zalomí více ... vzniká kaustická plocha



Otvorová vada v elektronové optice je **neodstranitelná**

viník:

Gaussova věta elektrostatiky, nedovolí korekce indexu lomu

Odpomoc z nouze vyclonit dostatečně úzký svazek

Vady zobrazení elektronové čočky: otvorová vada

- Elektronová optika ... tytéž vady zobrazení, jako světelná **astigmatismus, koma ...**
- V oblasti obklopující paraxiální (malé úhly s osou) hlavně

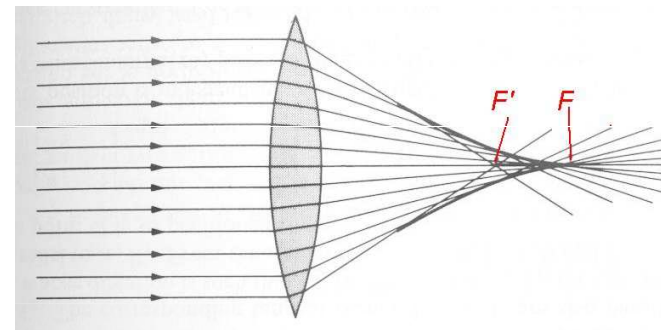
vada chromatická

vada sférická (otvorová)

Podstata rychlejší elektrony se zalomí méně ... analogie červeného světla

Odpomoc kvalitní monochromatický zdroj elektronů ... studená emise

Podstata paprsky dále od osy se zalomí více ... vzniká kaustická plocha



Otvorová vada v elektronové optice je **neodstranitelná**

viník:

Gaussova věta elektrostatiky, nedovolí korekce indexu lomu

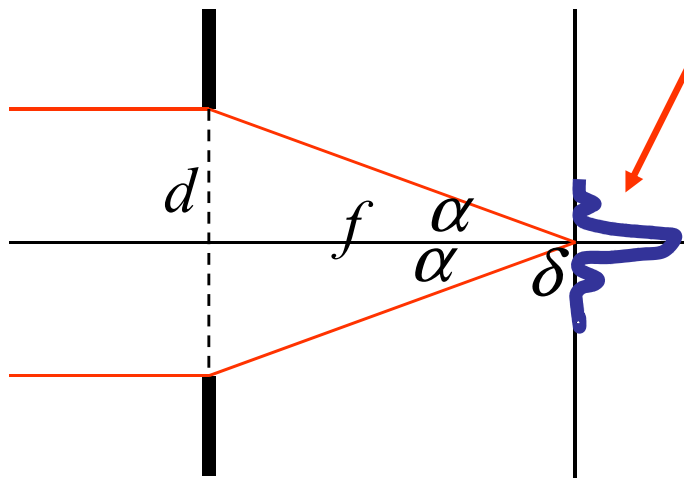
Odpomoc z nouze vyclonit dostatečně úzký svazek

Problémy ♠ malá světelnost

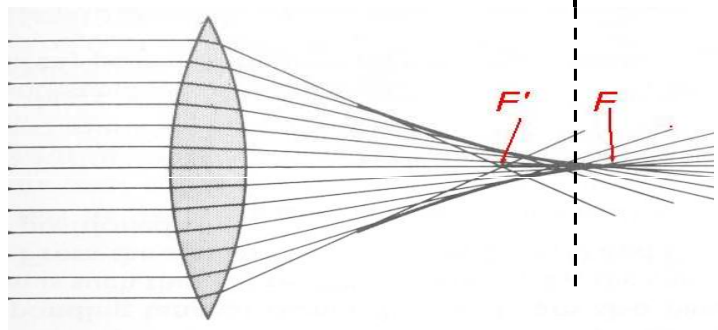
♠ difrakce na cloně

– **ohybová vada**

Ohybová vada

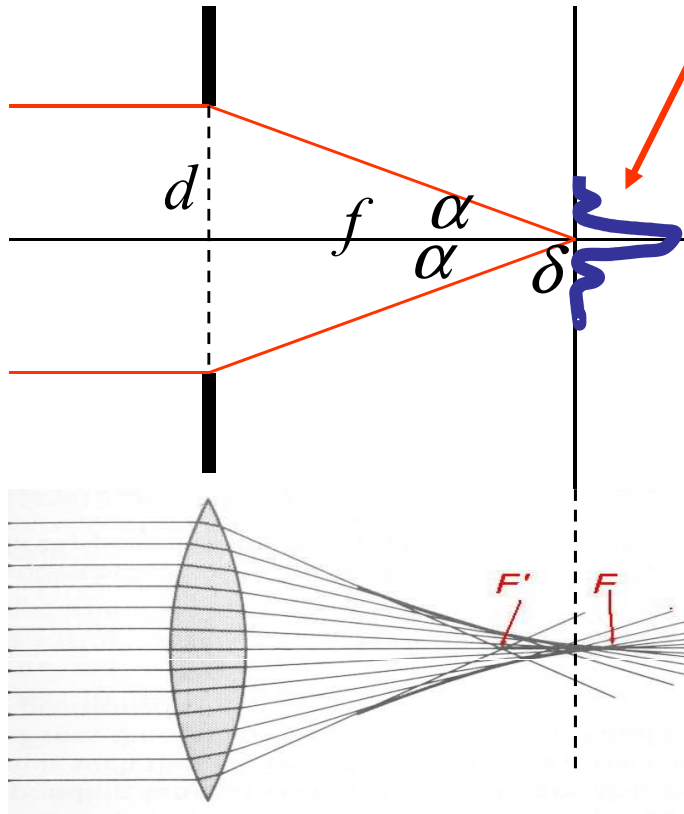


$$\delta \approx \frac{\lambda}{\sin \alpha} \approx \frac{\lambda}{\alpha} \quad \text{průměr hlav. maxima}$$



$$\rho_{sf} \approx C_s \alpha^3 \quad \text{průměr obraz. kroužku}$$

Ohybová vada

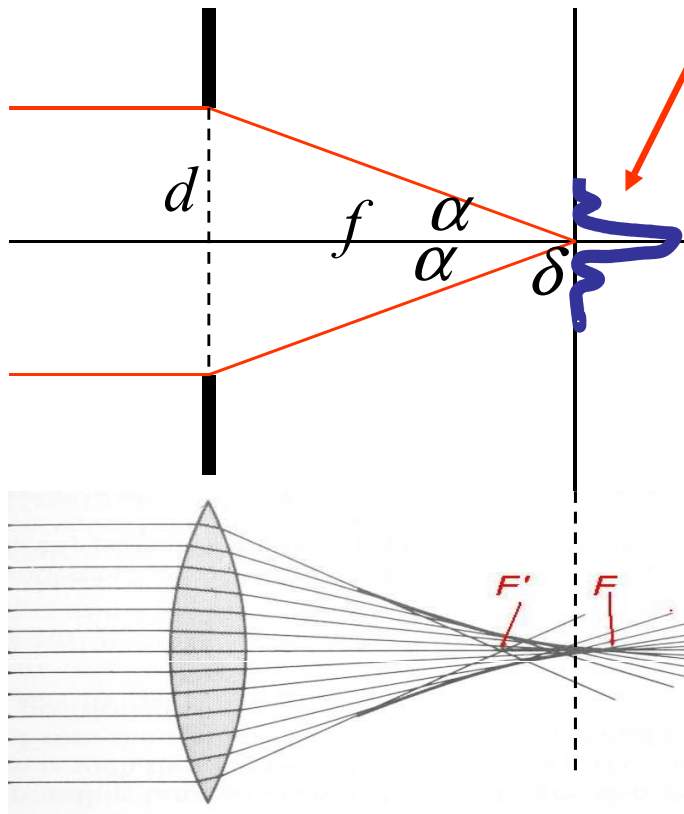


$$\delta \approx \frac{\lambda}{\sin \alpha} \approx \frac{\lambda}{\alpha} \quad \text{průměr hlav. maxima}$$

Také tento koef. 3. řádu lze určit výpočtem

$$\rho_{sf} \approx C_s \alpha^3 \quad \text{průměr obraz. kroužku}$$

Ohybová vada



$$\delta \approx \frac{\lambda}{\sin \alpha} \approx \frac{\lambda}{\alpha} \quad \text{průměr hlav. maxima}$$

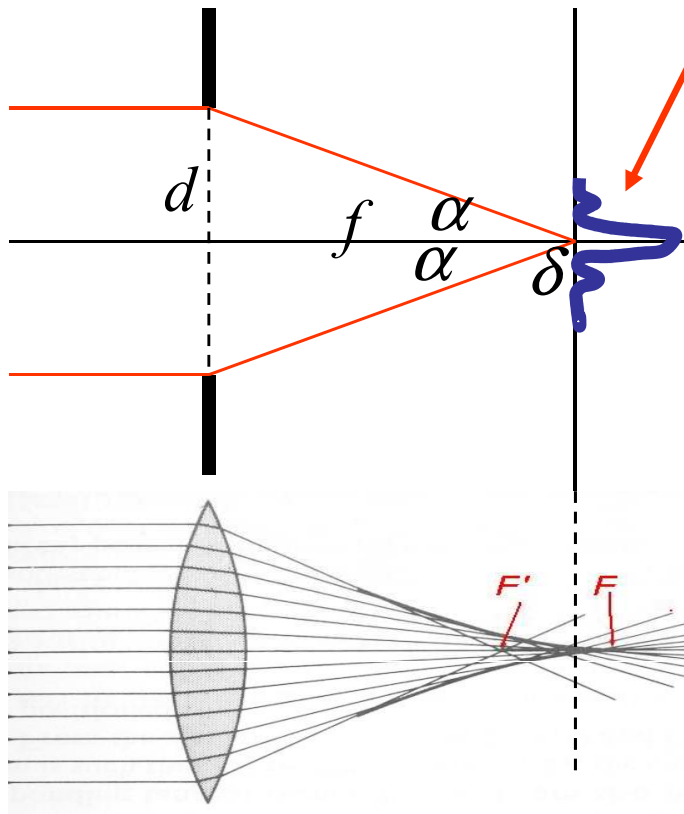
$$\rho_{sf} \approx C_s \alpha^3 \quad \text{průměr obraz. kroužku}$$

... hledáme kompromisní hodnotu aperturního úhlu z podmínky

$$\rho_{sf} \approx \delta$$

$$\alpha_{opt} \approx (\lambda / C_s)^{1/4} \quad \delta_{opt} \approx (\lambda^3 C_s)^{1/4} \approx \lambda$$

Ohybová vada



$$\delta \approx \frac{\lambda}{\sin \alpha} \approx \frac{\lambda}{\alpha} \quad \text{průměr hlav. maxima}$$

$$\rho_{sf} \approx C_s \alpha^3 \quad \text{průměr obraz. kroužku}$$

... hledáme kompromisní hodnotu aperturního úhlu z podmínky

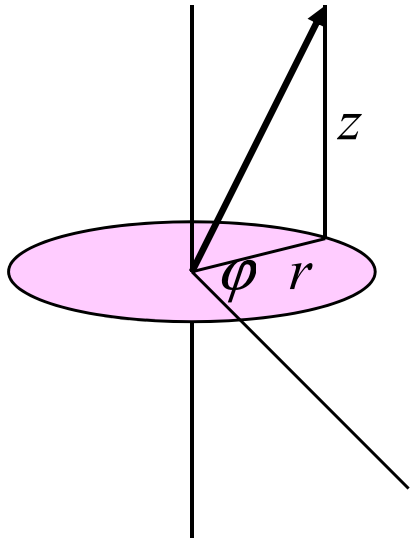
$$\rho_{sf} \approx \delta$$

$$\alpha_{\text{opt}} \approx (\lambda / C_s)^{\frac{1}{4}} \quad \delta_{\text{opt}} \approx (\lambda^3 C_s)^{\frac{1}{4}} \approx \lambda$$

... pro rozlišení v řádu nm se tak vlnové délky volí v řádu 1 – 10 pm

Je tedy otvorová vada nepřekonatelná?

Nový trend – opustit axiální symetrii

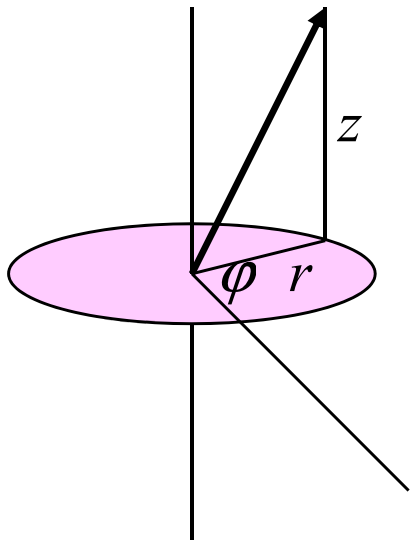


Na těsném propojení axiální a radiální složky pole se účastní dvě okolnosti: ❶ Laplaceova rovnice
❷ axiální symetrie pole (nezávislost na azimutu)
Dohromady to dá jednoznačné propojení

$$\partial_r E_r + \frac{1}{r} E_r + \partial_z E_z = 0$$

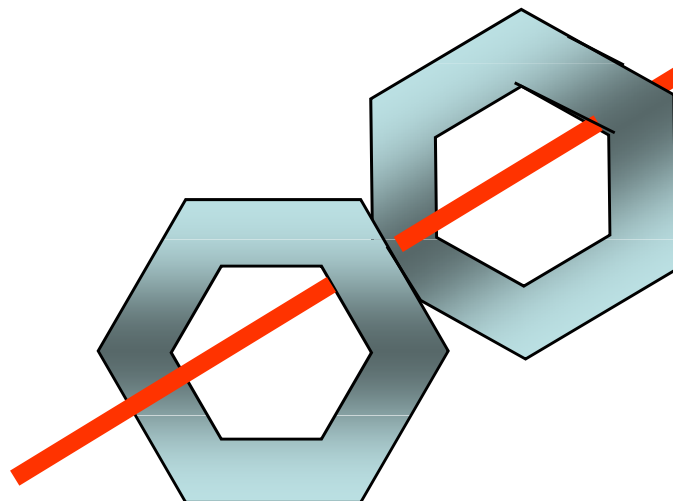
Otvorová vada je překonatelná

Nový trend – opustit axiální symetrii



Na těsném propojení axiální a radiální složky pole se účastní dvě okolnosti: ❶ Laplaceova rovnice
❷ axiální symetrie pole (nezávislost na azimutu)
Dohromady to dá jednoznačné propojení

VÝCHODISKO – OPUSTIT AXIÁLNÍ SYMETRII



Dva navzájem pootočené hexapóly
slibují téměř dokonalou
kompensaci otvorové vady
při mizivé azimutální distorsi

Brno a elektronový mikroskop

... tedy

Armin Delong a elektronový mikroskop

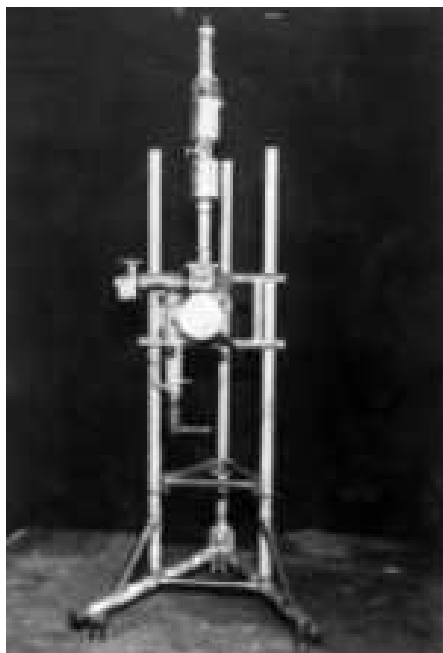


Prof. Armin Delong

hlavní spoluvůrce několika generací čs. elektronových mikroskopů

zakladatel a první mnohaletý ředitel Ústavu přístrojové techniky

laureát ceny Česká hlava 2006



"Trojnožka" (1950)



**Stolní elektronový mikroskop
Tesla BS242 (1954)**

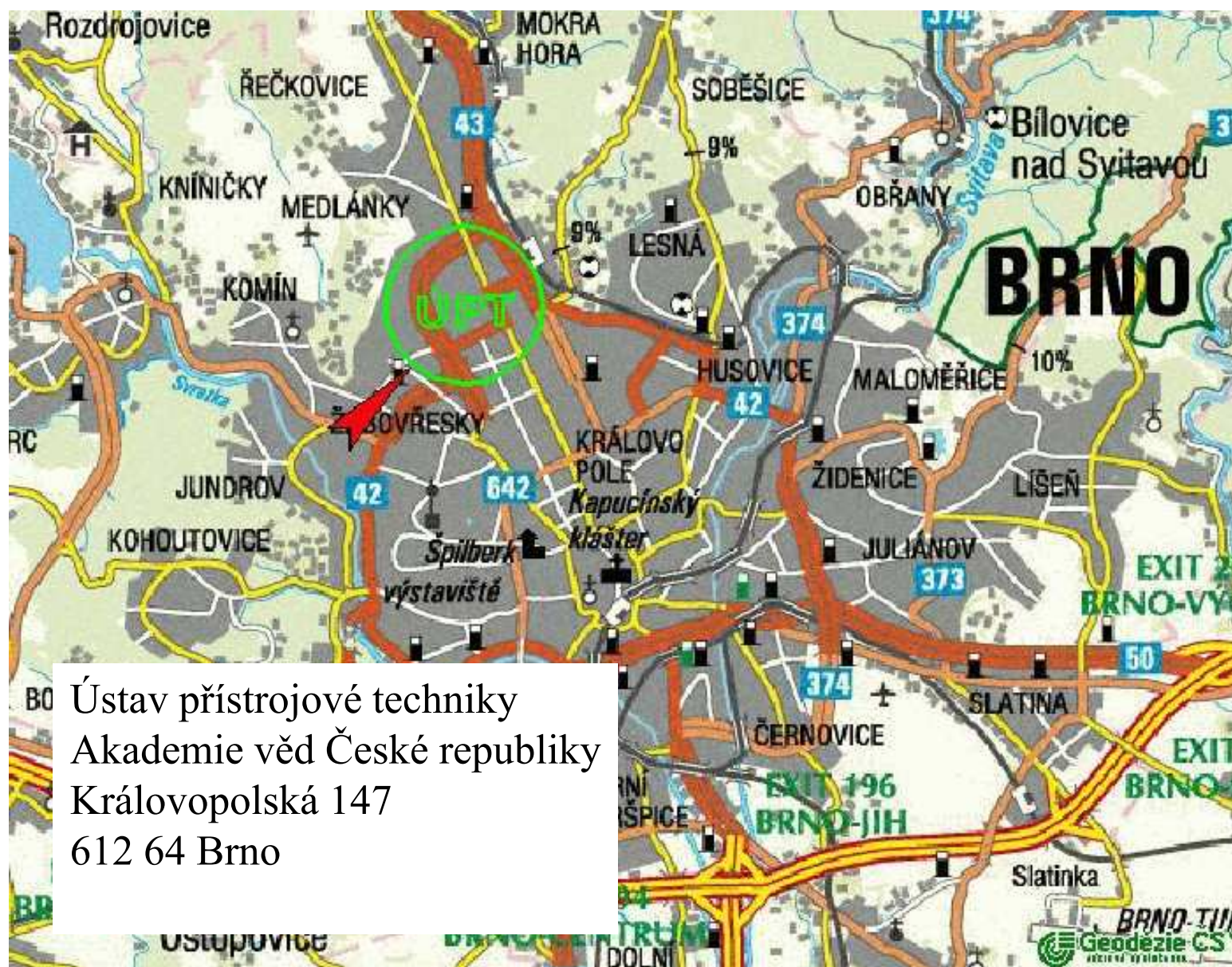


Elektronový litograf (1985)



**První environmentální rastrovací elektronový
mikroskop v ČR pro pozorování vzorků v jejich
přirozeném stavu (1996)**





Ústav přístrojové techniky
Akademie věd České republiky
Královopolská 147
612 64 Brno

The end

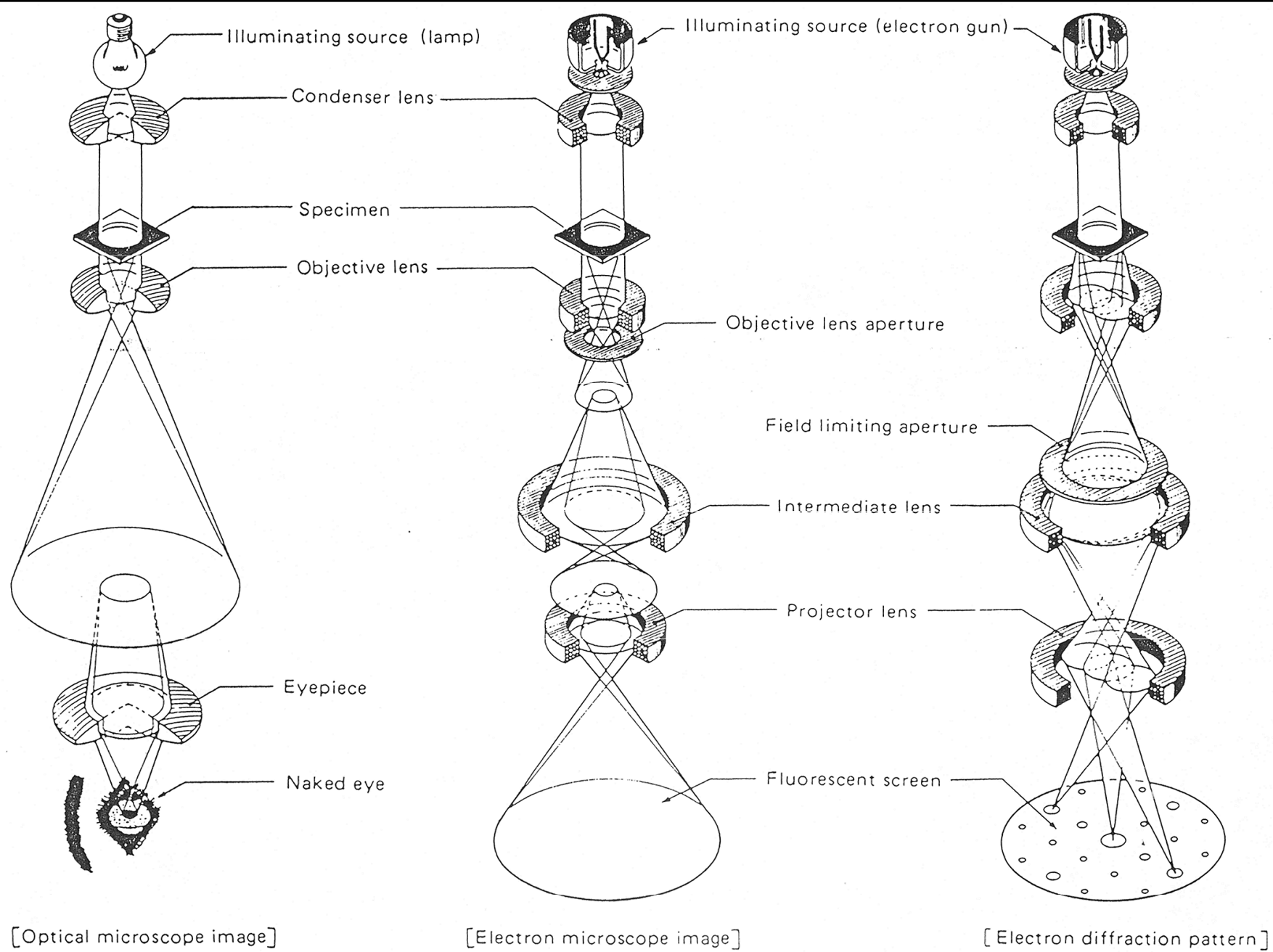


Figure 3. Comparison of image formation.

